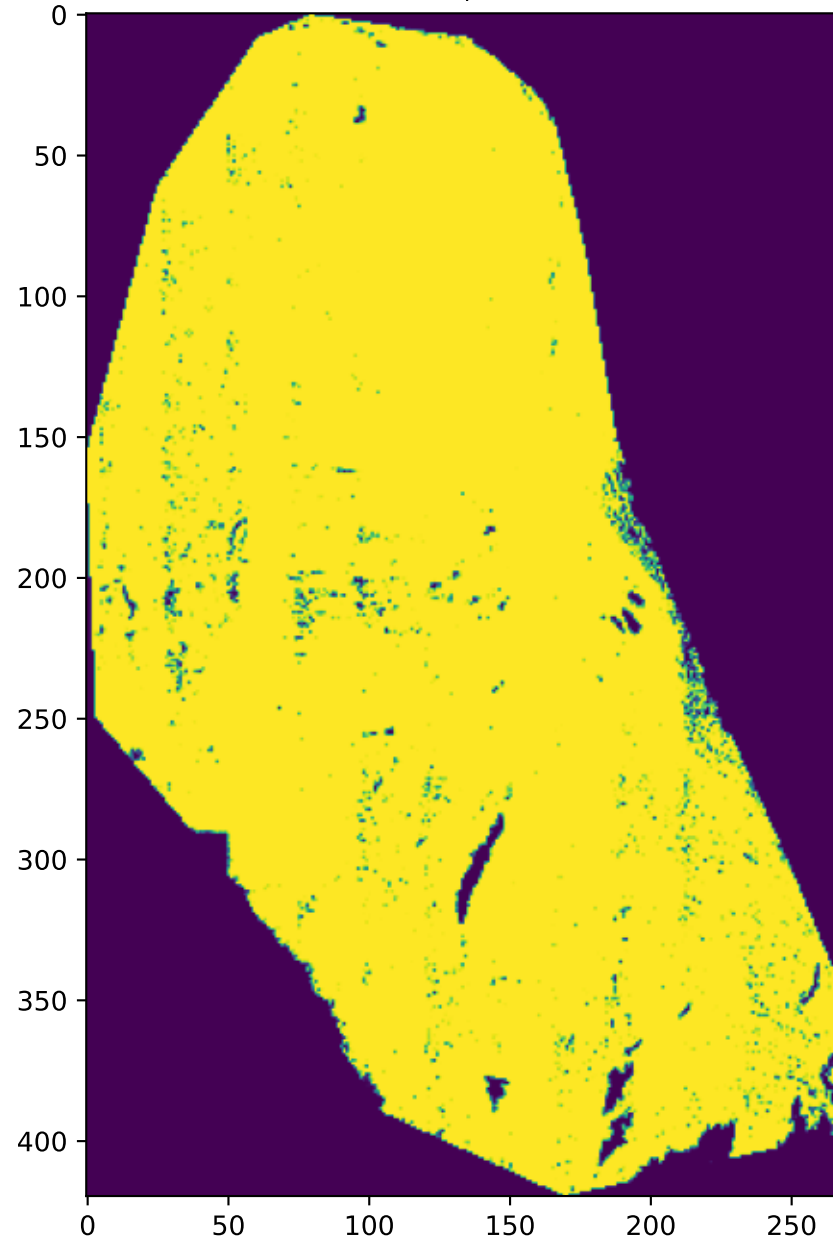
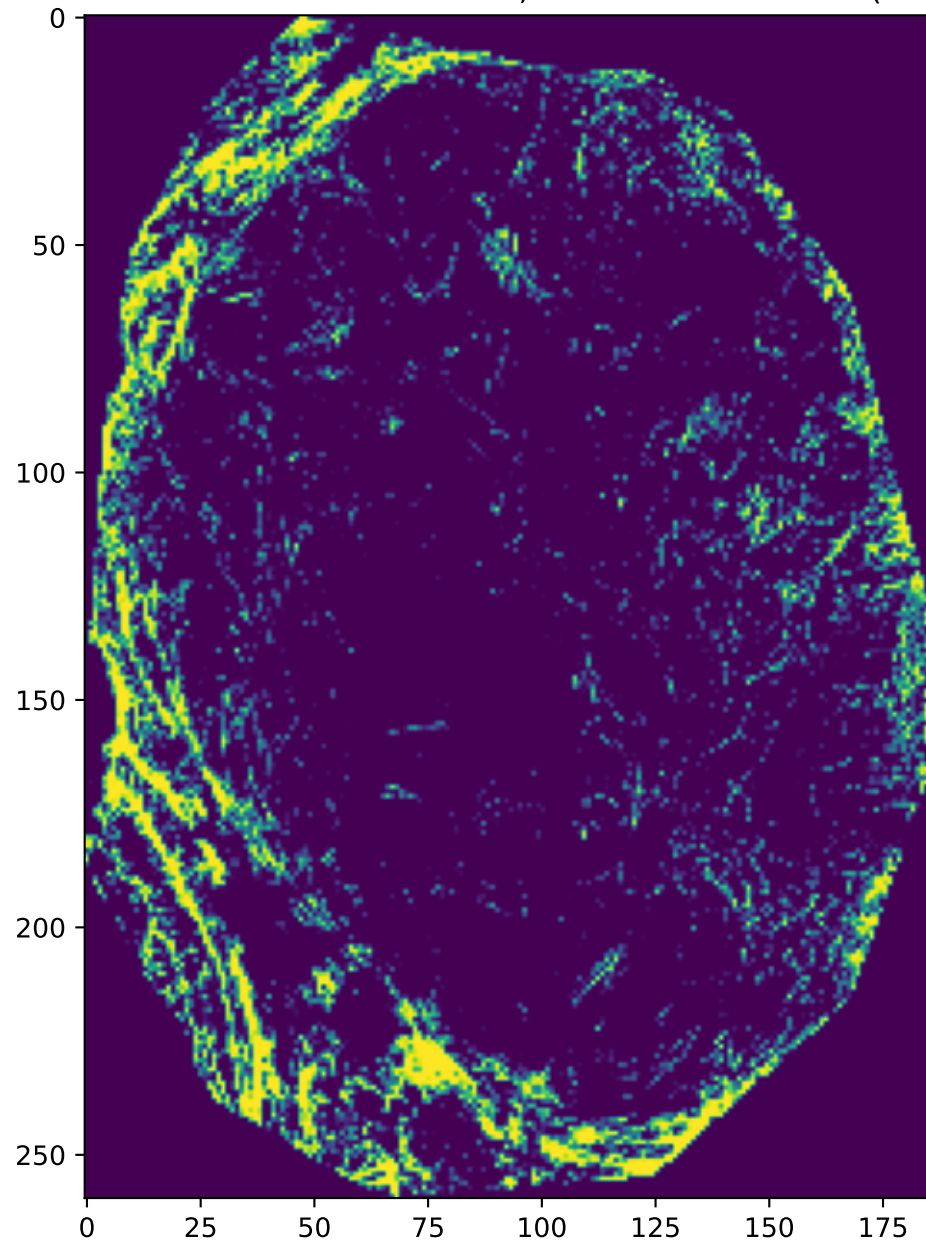


WT
MAX_12b_187_CD3eFITC
Nombre d'observations : 71965 ; Nombre de T : 21448 (29.80%)



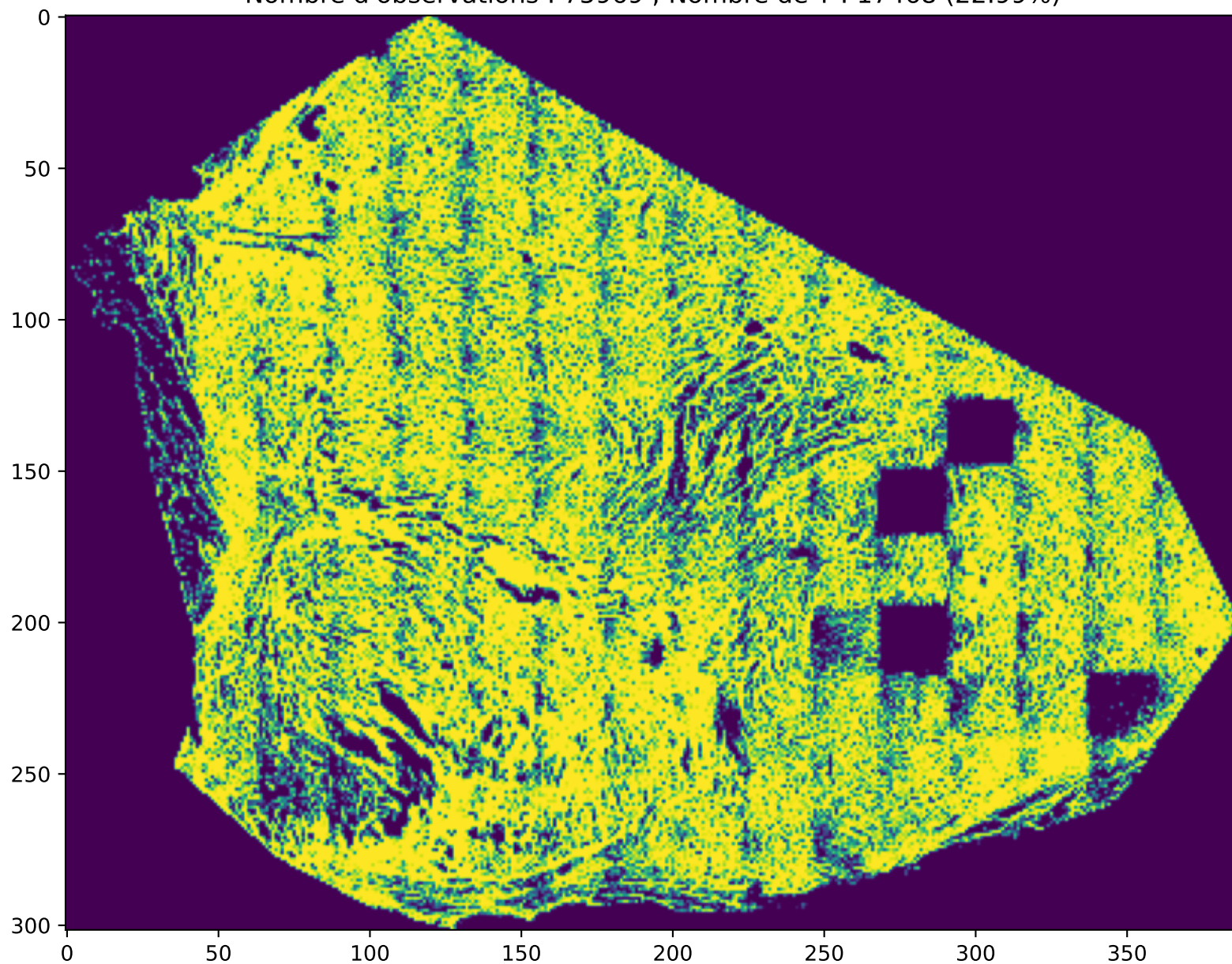
WT
FWT_507_down_CD3FITC
Nombre d'observations : 38647 ; Nombre de T : 8383 (21.69%)



WT

MAX_12b_189_CD3eFITC

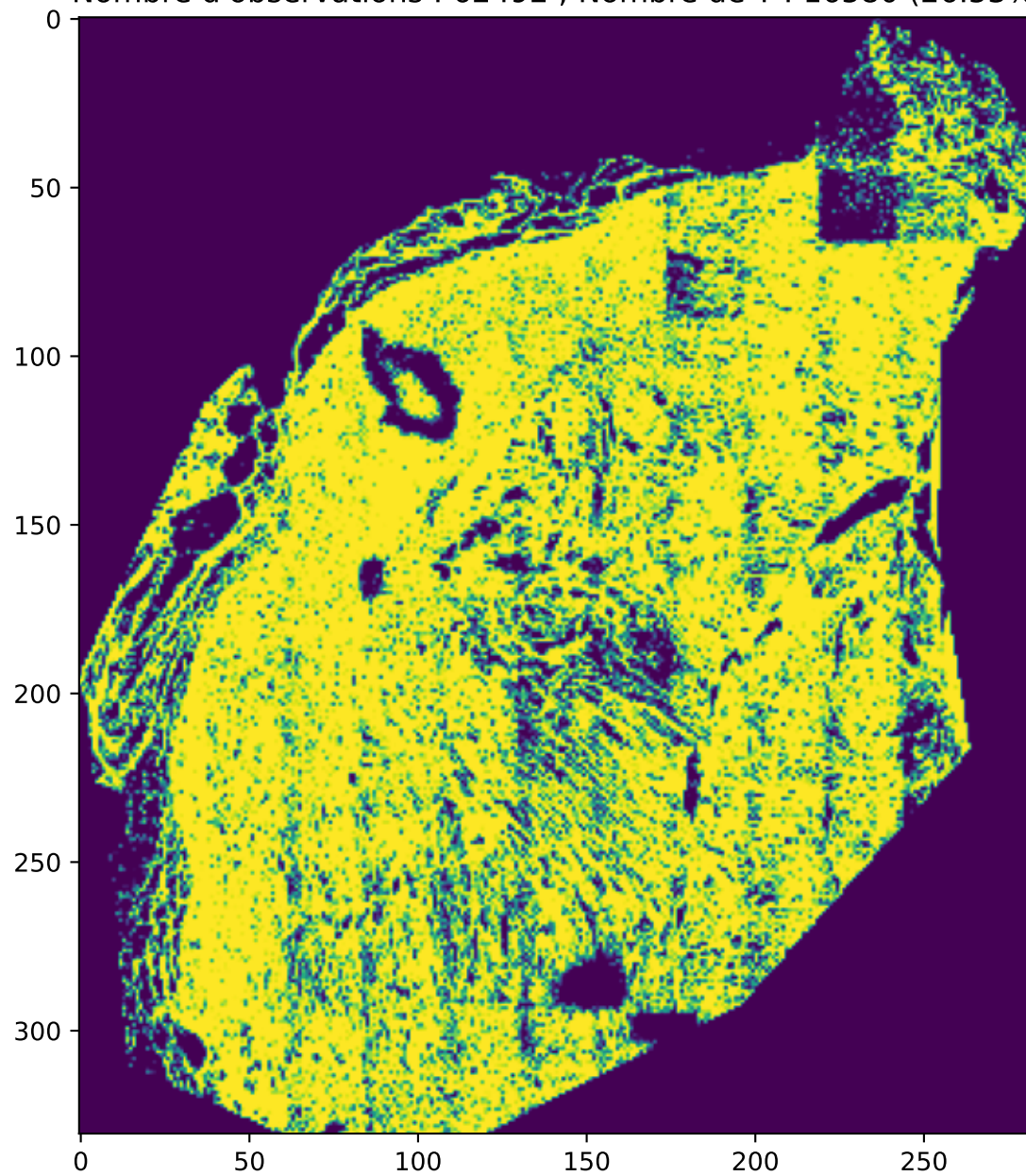
Nombre d'observations : 75969 ; Nombre de T : 17468 (22.99%)



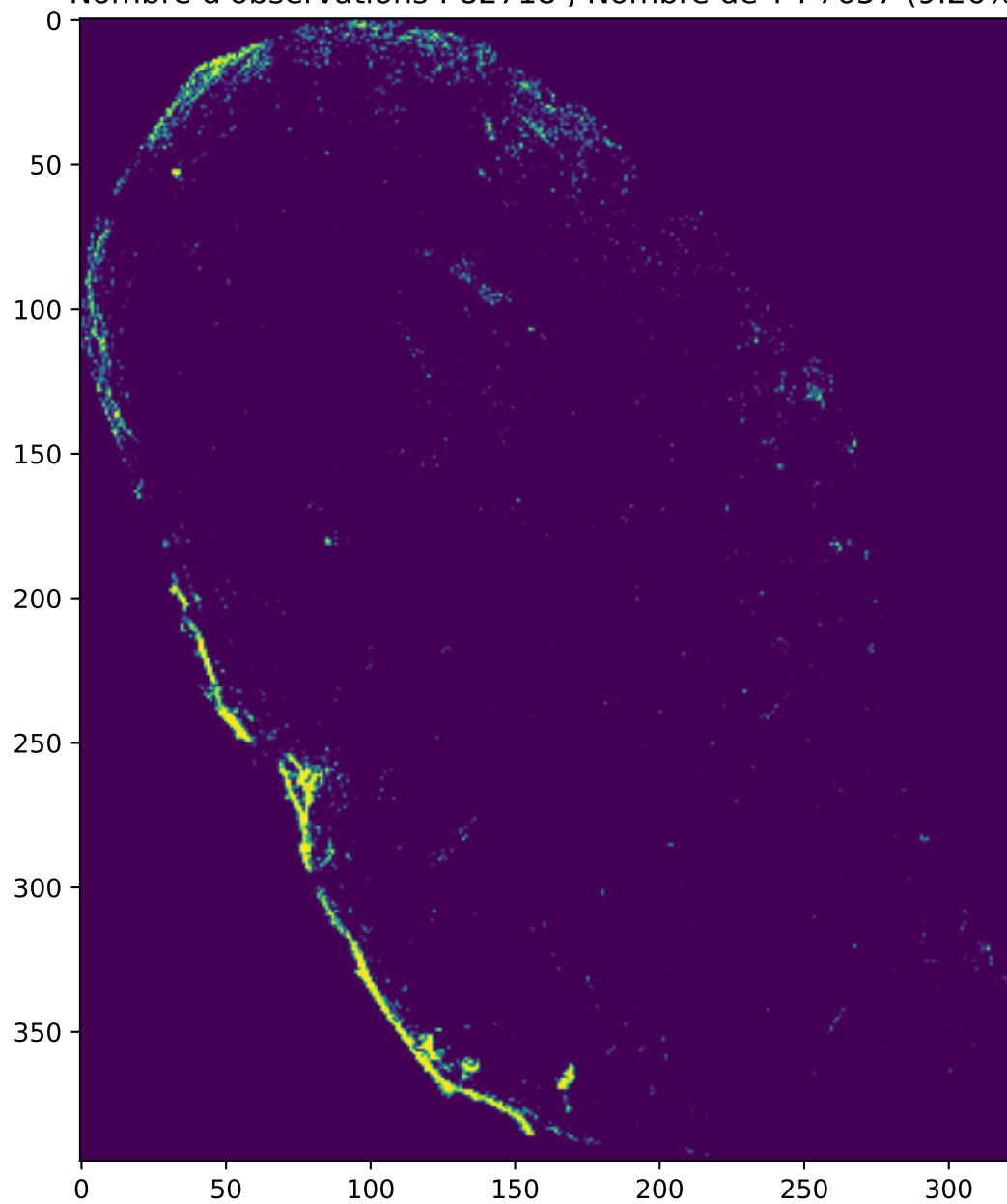
WT

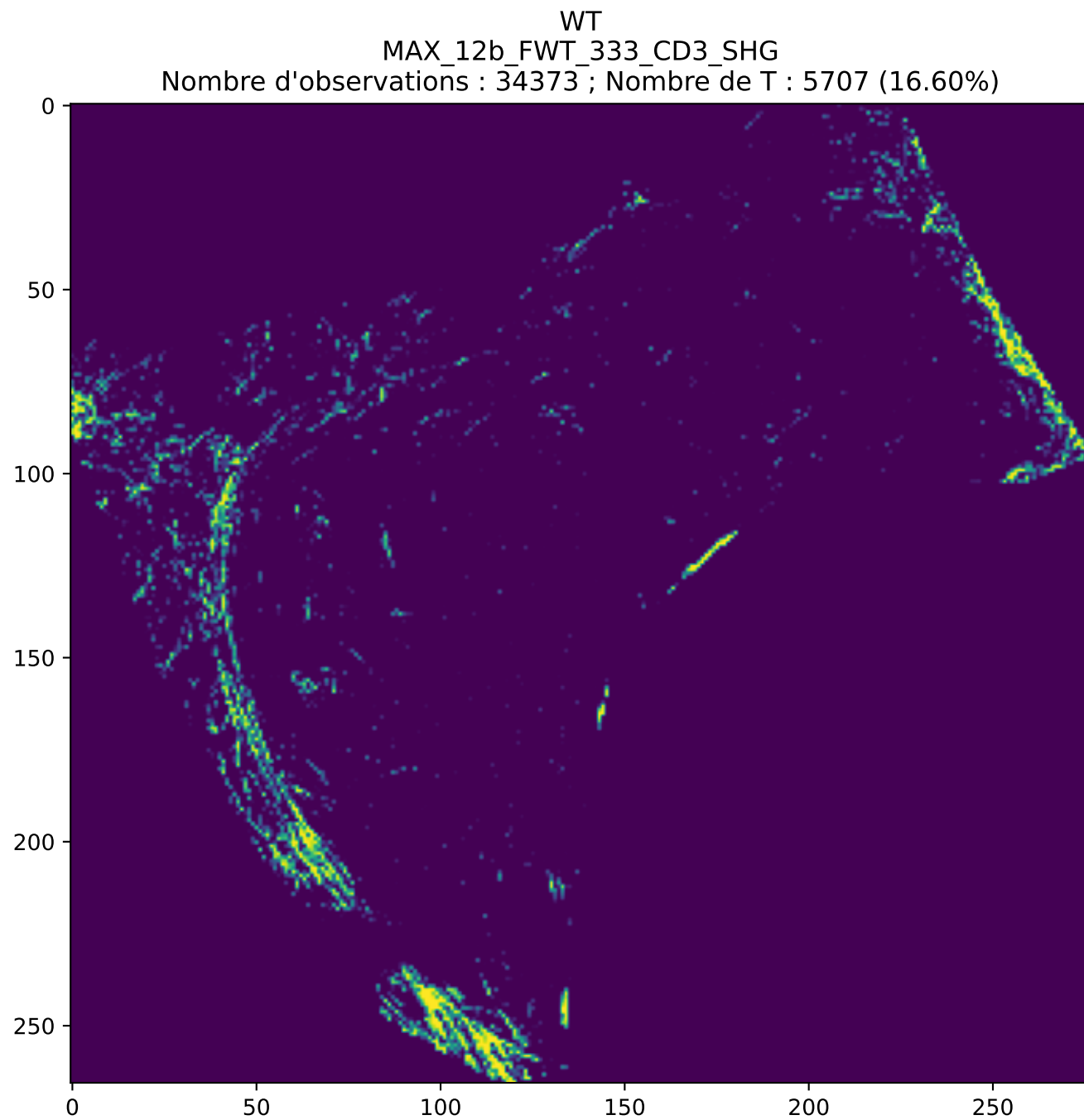
MAX_12b_184_CD3eFITC

Nombre d'observations : 62492 ; Nombre de T : 16580 (26.53%)

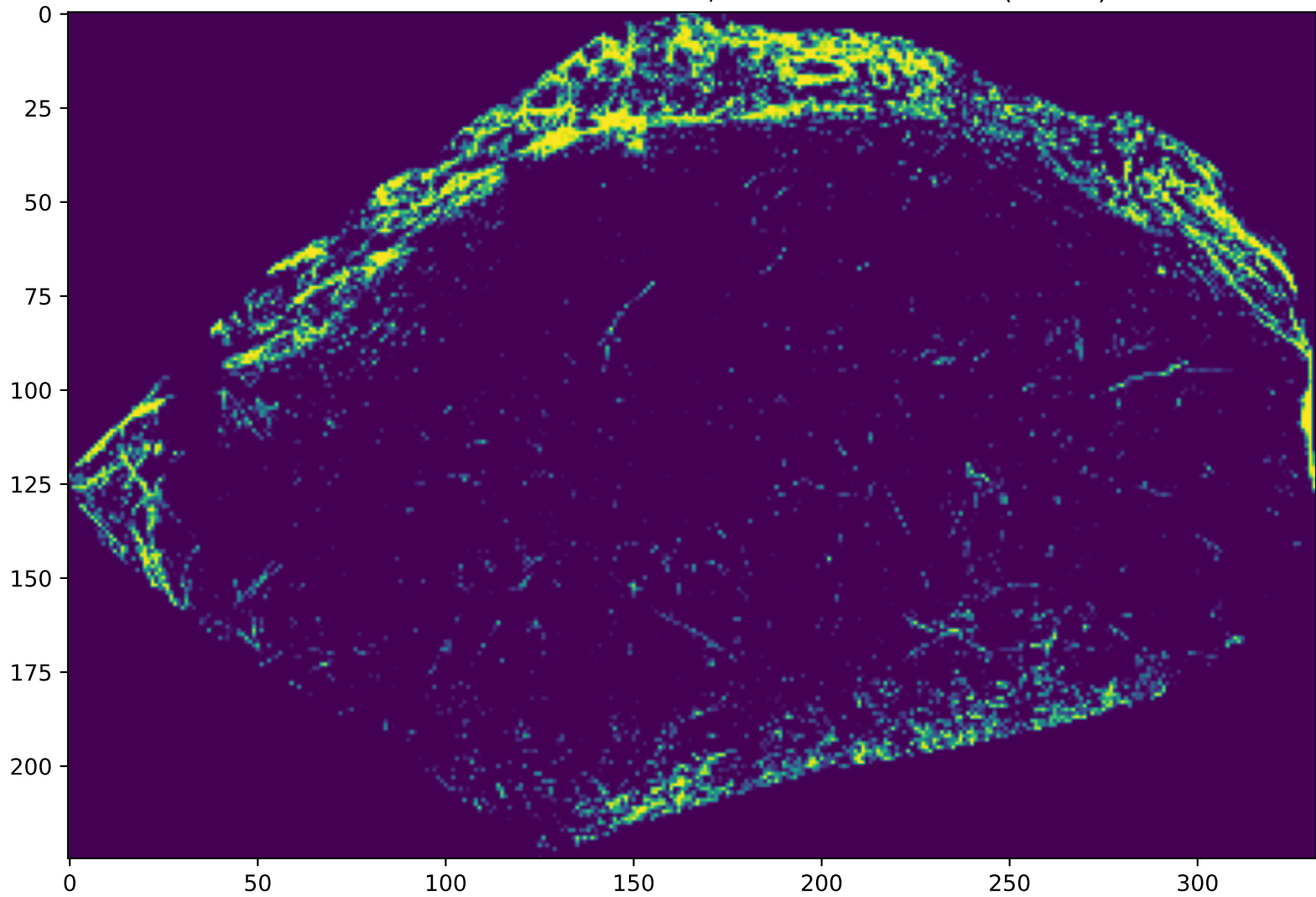


WT
MAX_12b_FWT331_CD3_SHG
Nombre d'observations : 82718 ; Nombre de T : 7657 (9.26%)





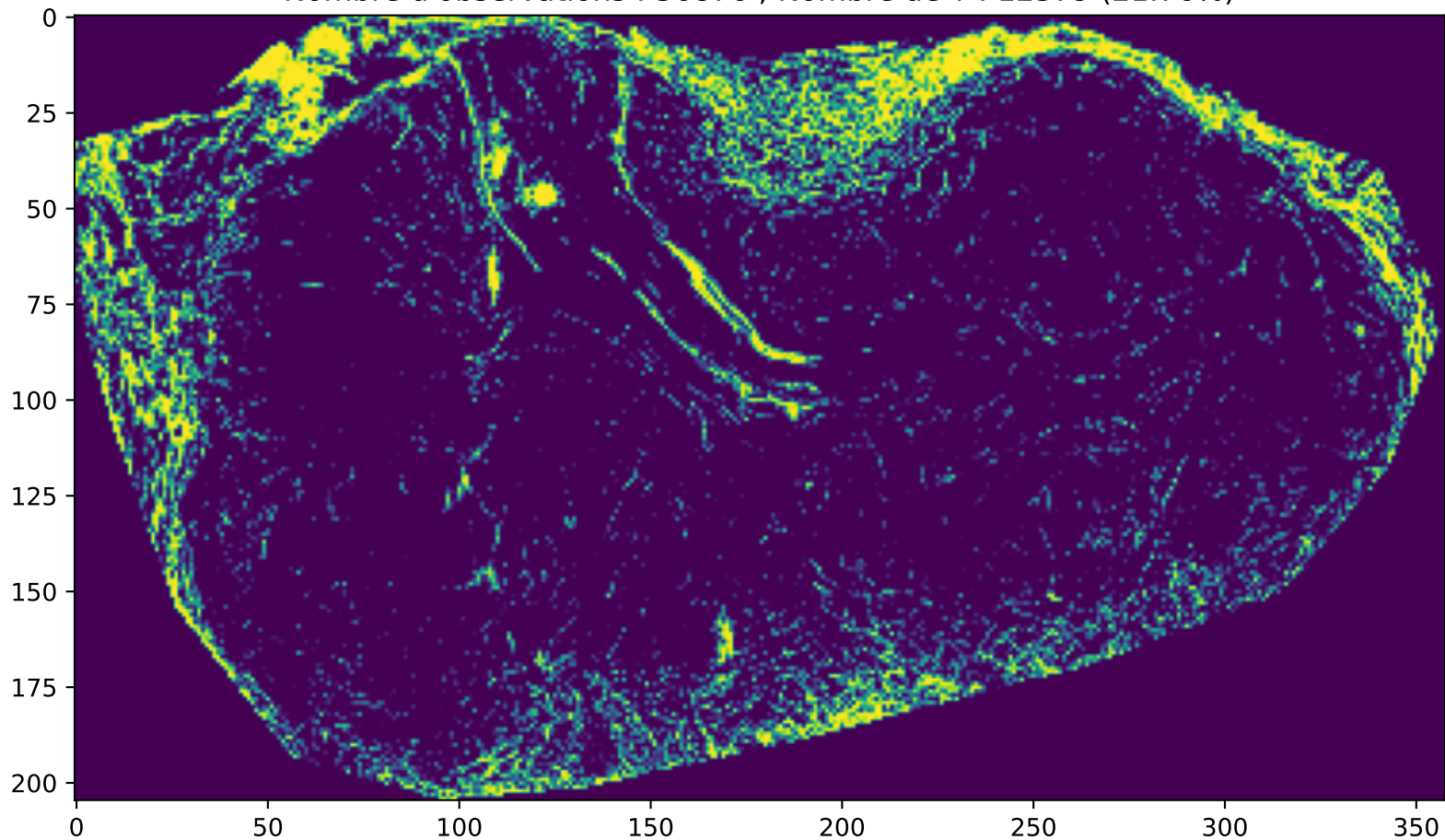
WT
FWT_928_right_CD3FITC
Nombre d'observations : 50588 ; Nombre de T : 4934 (9.75%)



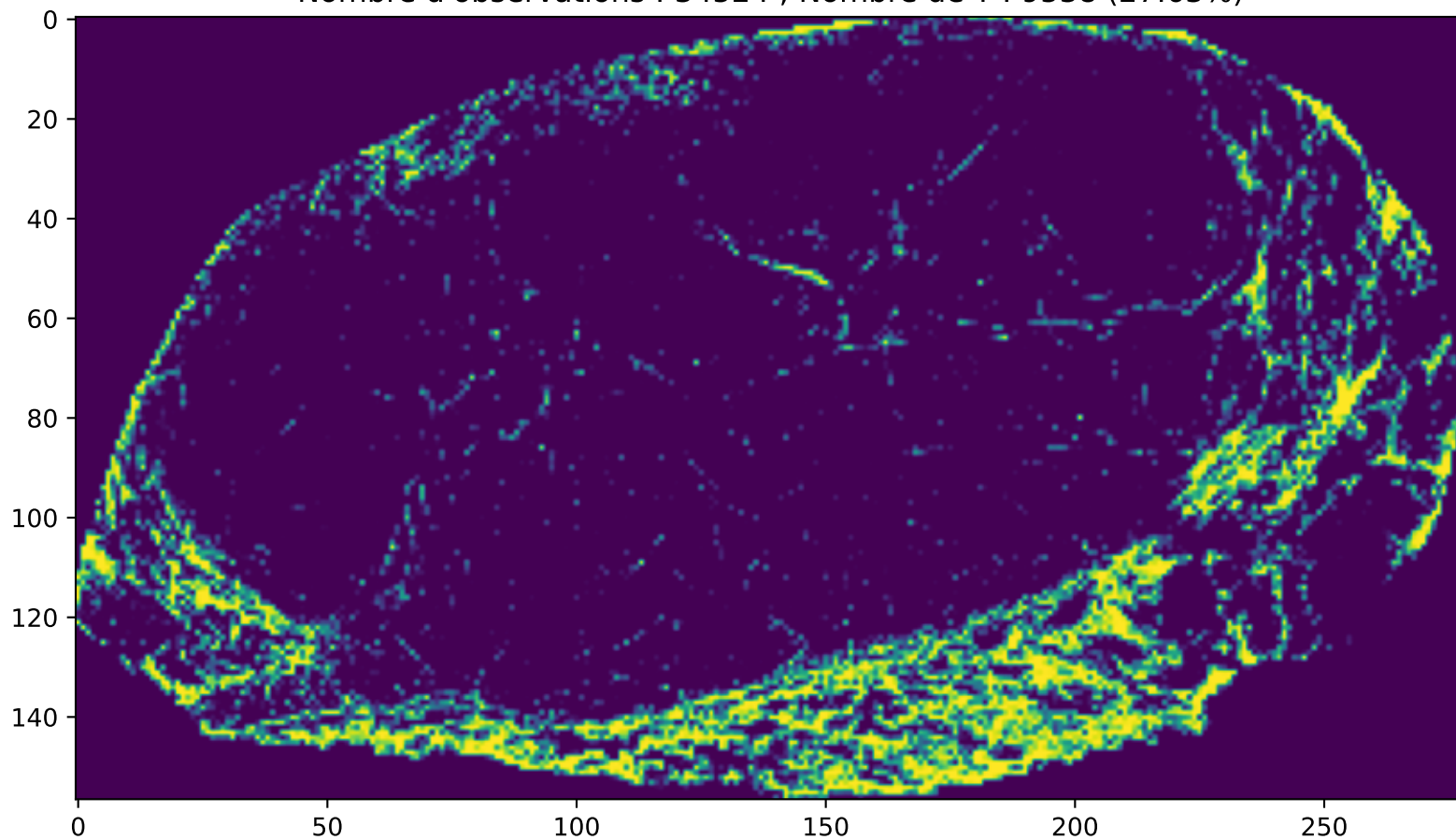
WT

FWT_861_big_CD3FITC

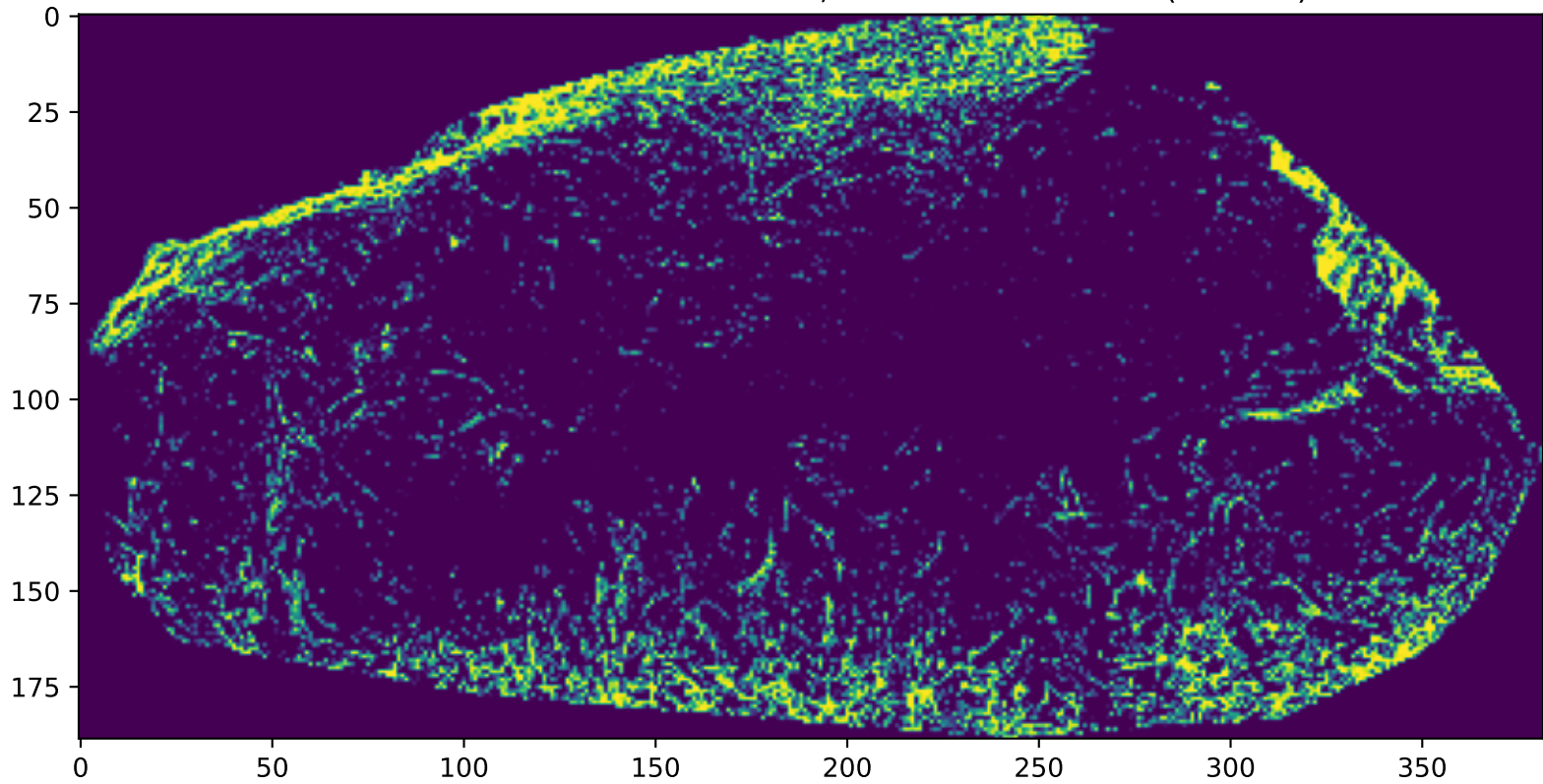
Nombre d'observations : 56876 ; Nombre de T : 12379 (21.76%)



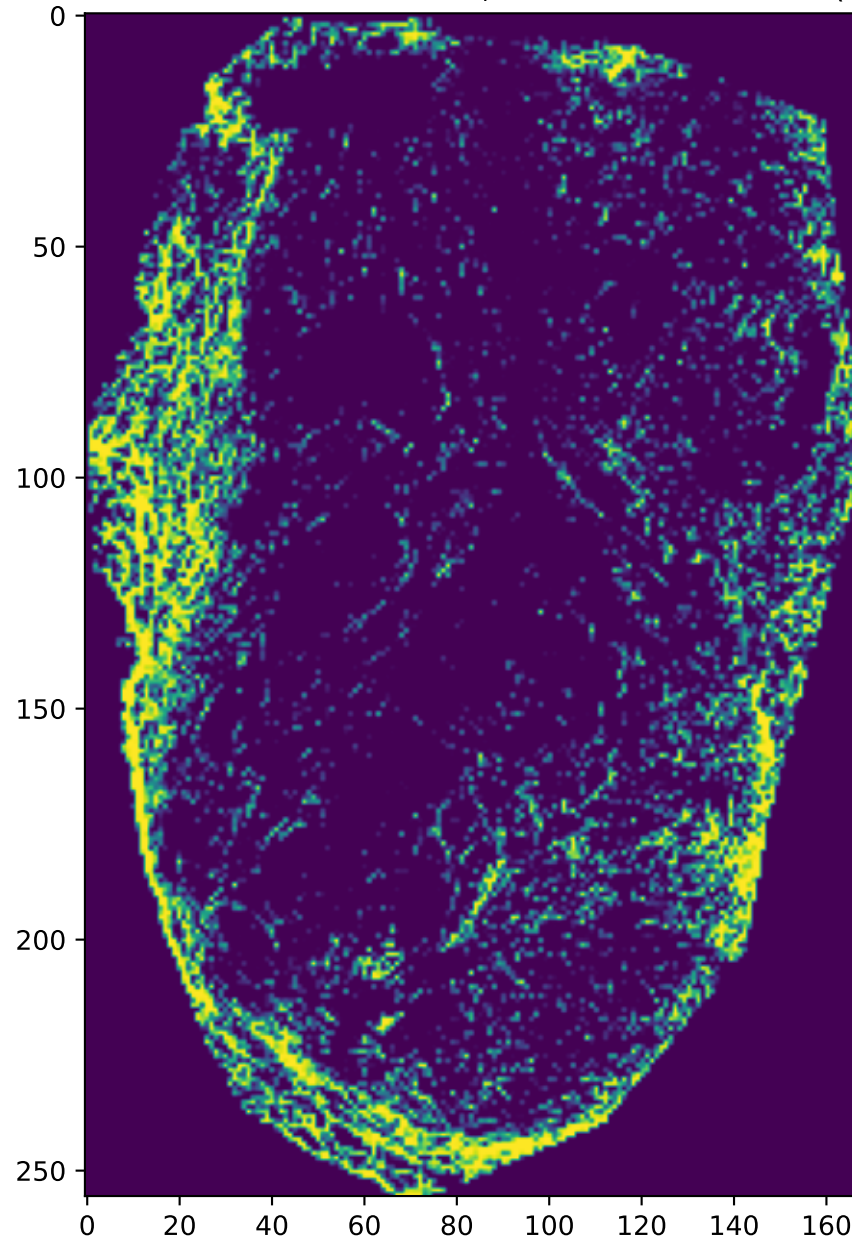
WT
FWT_511_CD3FITC_F480_AF647_PhaI546
Nombre d'observations : 34524 ; Nombre de T : 9538 (27.63%)

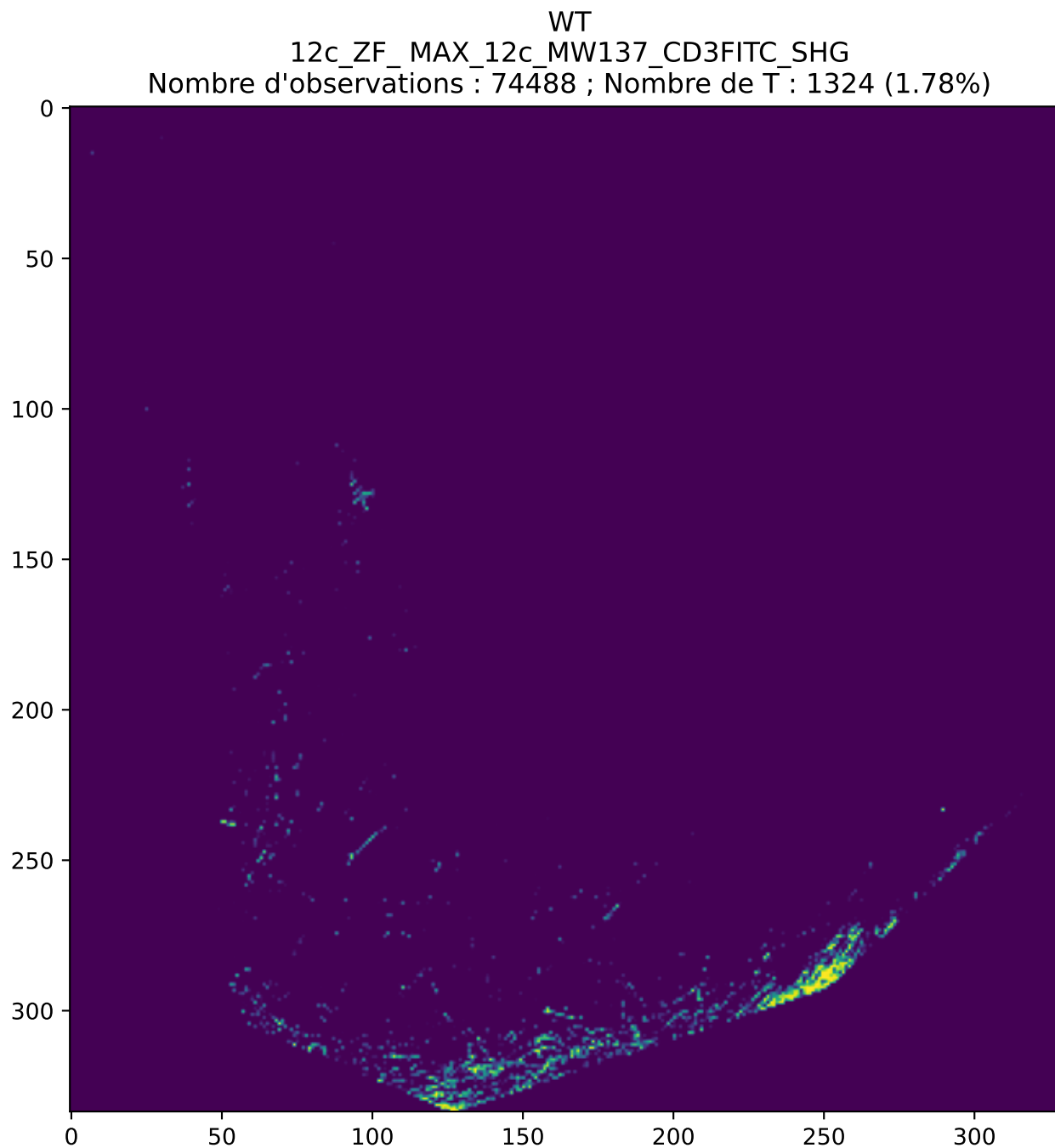


WT
MAX_MWT738_CD3_SHG
Nombre d'observations : 54790 ; Nombre de T : 8757 (15.98%)



WT
MAX_MWT854_CD3_SHG
Nombre d'observations : 33498 ; Nombre de T : 5481 (16.36%)

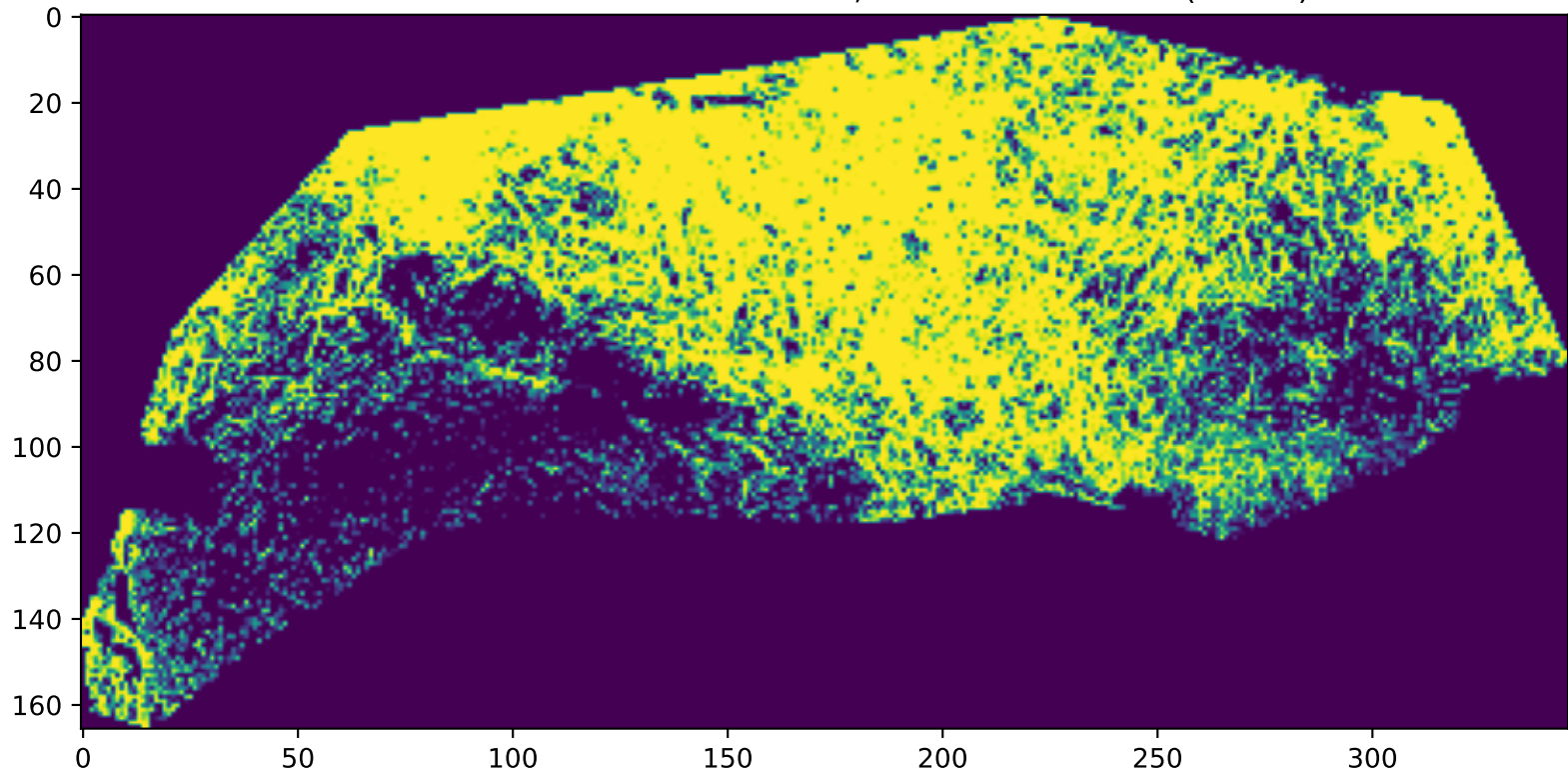




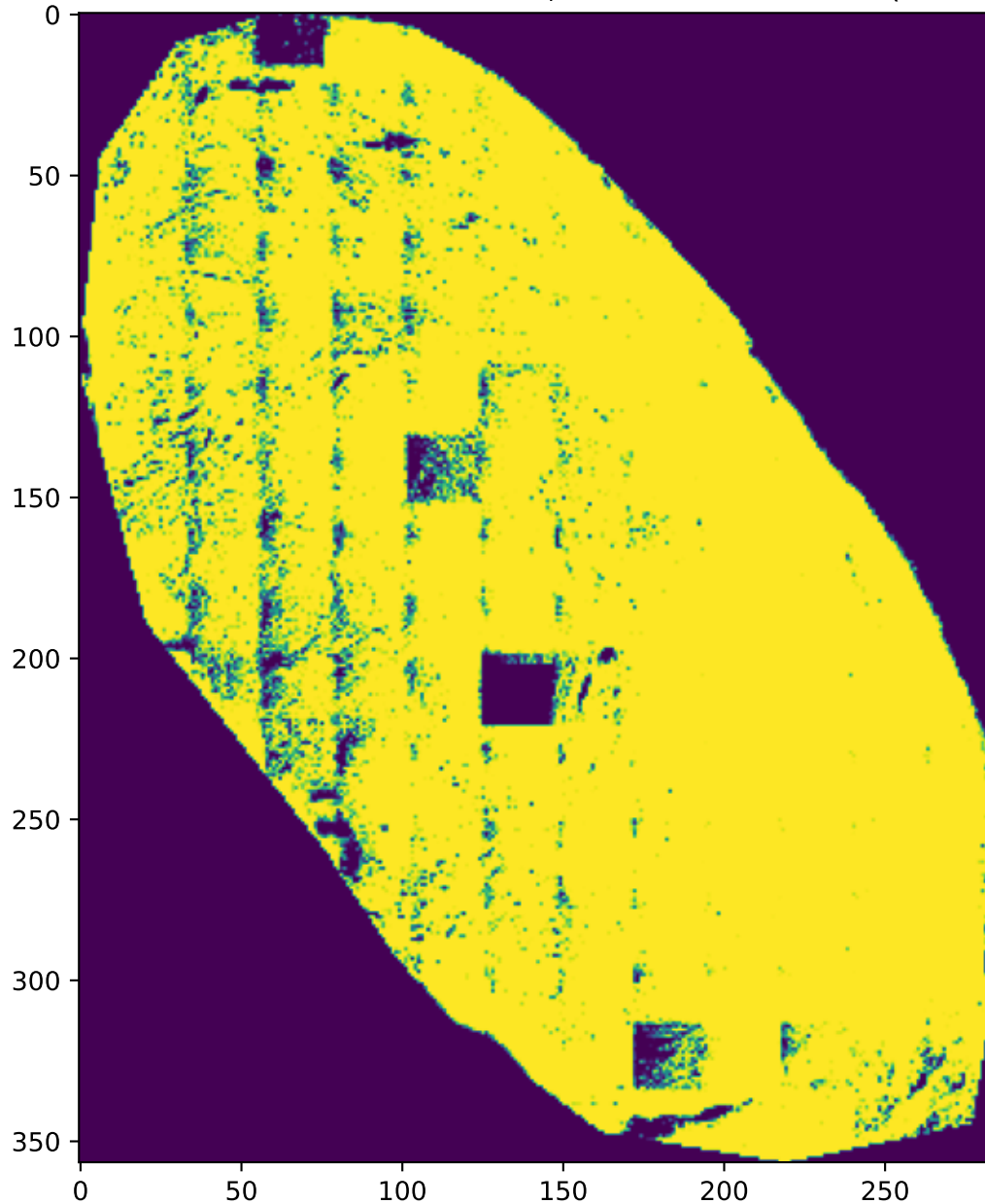
WT

MAX_MWT929_CD3_SHG

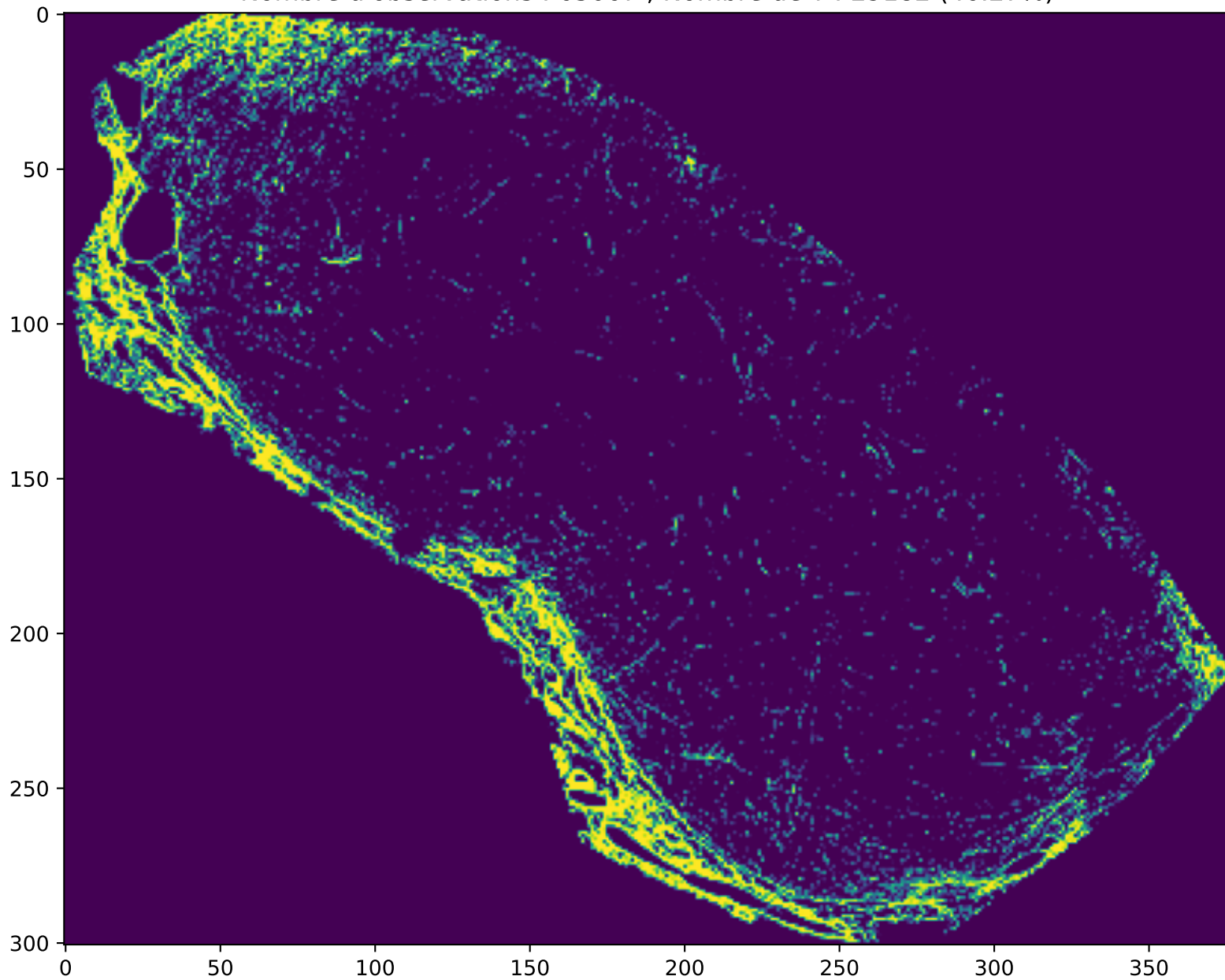
Nombre d'observations : 32799 ; Nombre de T : 308 (0.94%)



WT
MAX_12b_330_CD3eFITC
Nombre d'observations : 67039 ; Nombre de T : 8811 (13.14%)

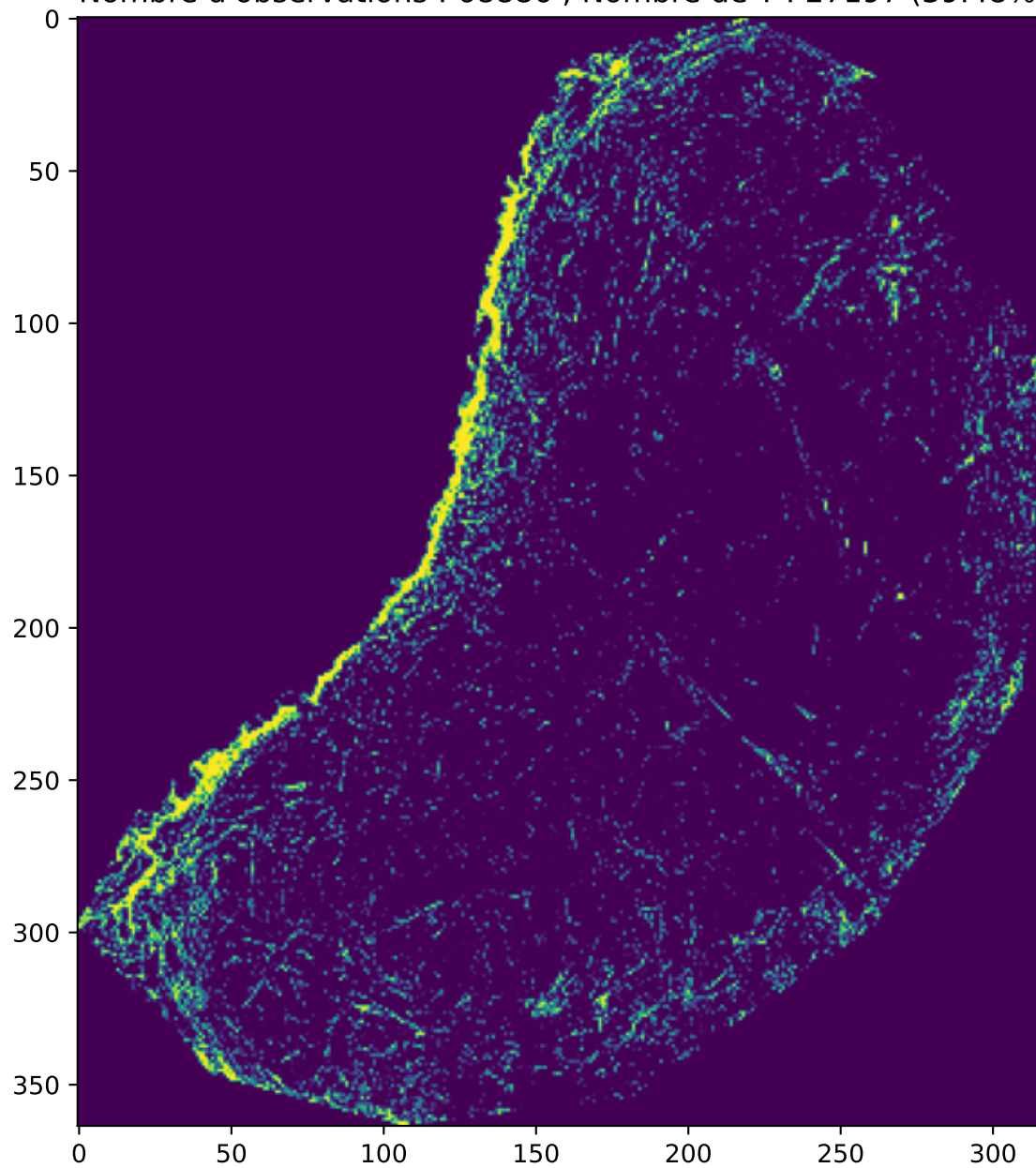


CD64-hDTR
MAX_12b_MKI183_CD3eFITC_SHG
Nombre d'observations : 63067 ; Nombre de T : 29182 (46.27%)

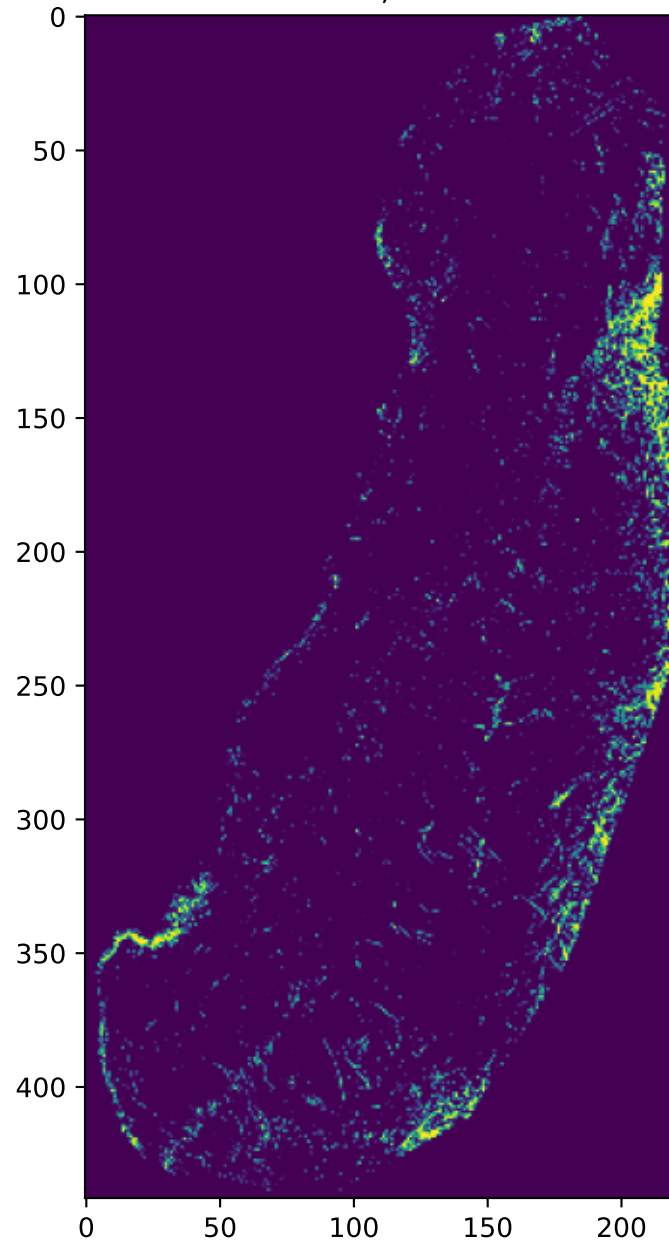


CD64-hDTR
MAX_12b_FKI192_CD3_SHG

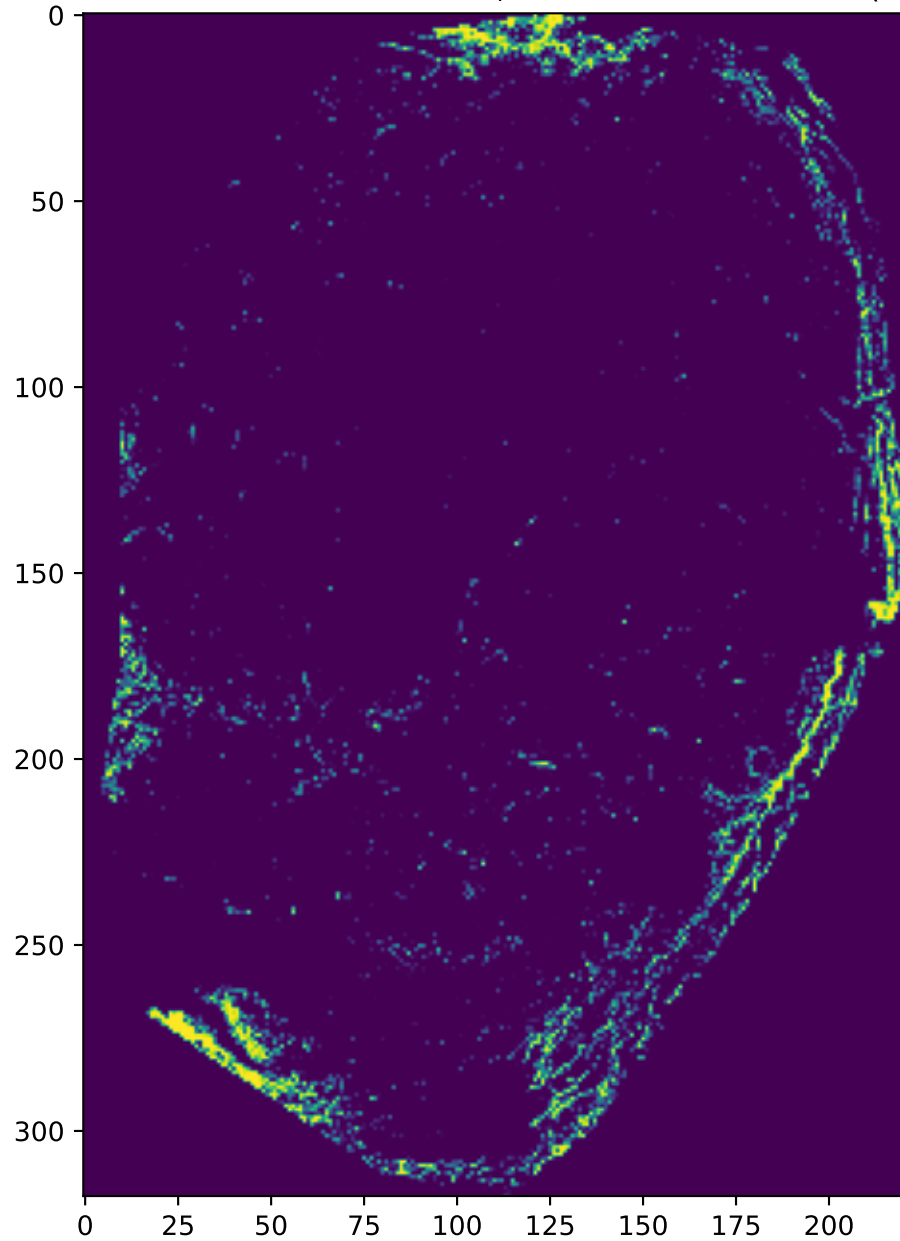
Nombre d'observations : 68886 ; Nombre de T : 27197 (39.48%)



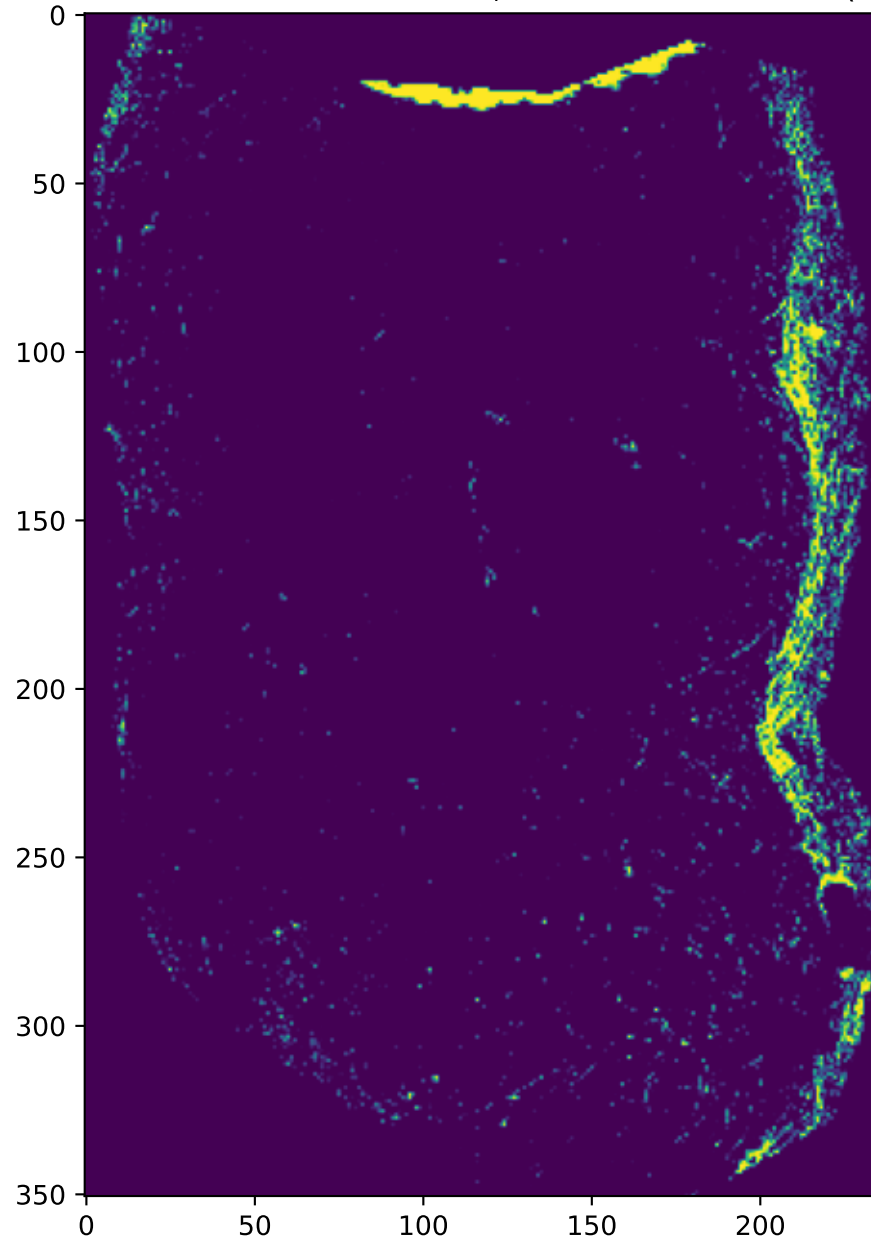
CD64-hDTR
MAX_12b_MKI185_CD3_SHG
Nombre d'observations : 55266 ; Nombre de T : 17017 (30.79%)



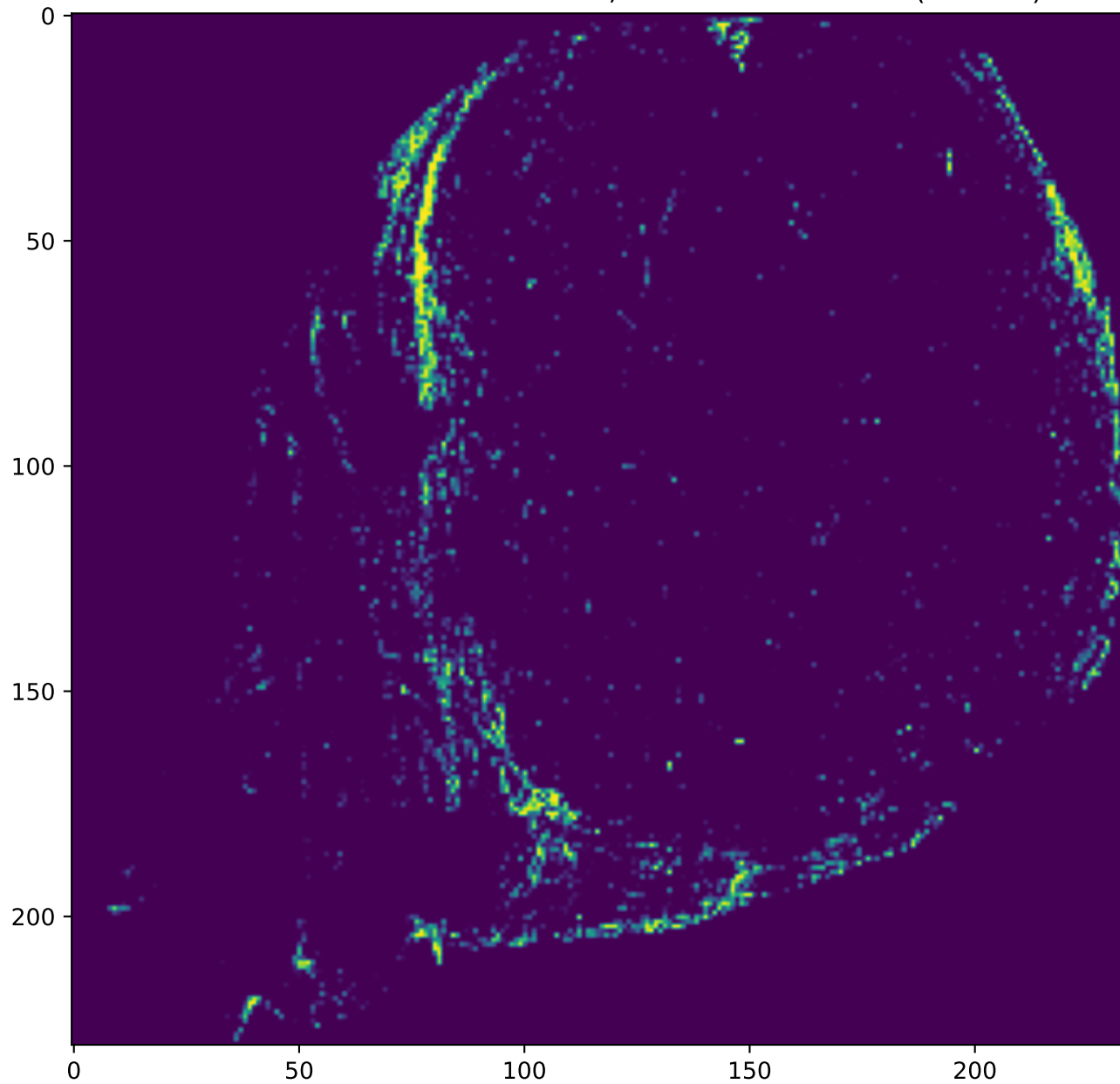
CD64-hDTR
MAX_12b_FKI332_CD3_SHG
Nombre d'observations : 53421 ; Nombre de T : 20427 (38.24%)



CD64-hDTR
MAX_12b_FKI194_CD3_SHG
Nombre d'observations : 69562 ; Nombre de T : 8163 (11.73%)

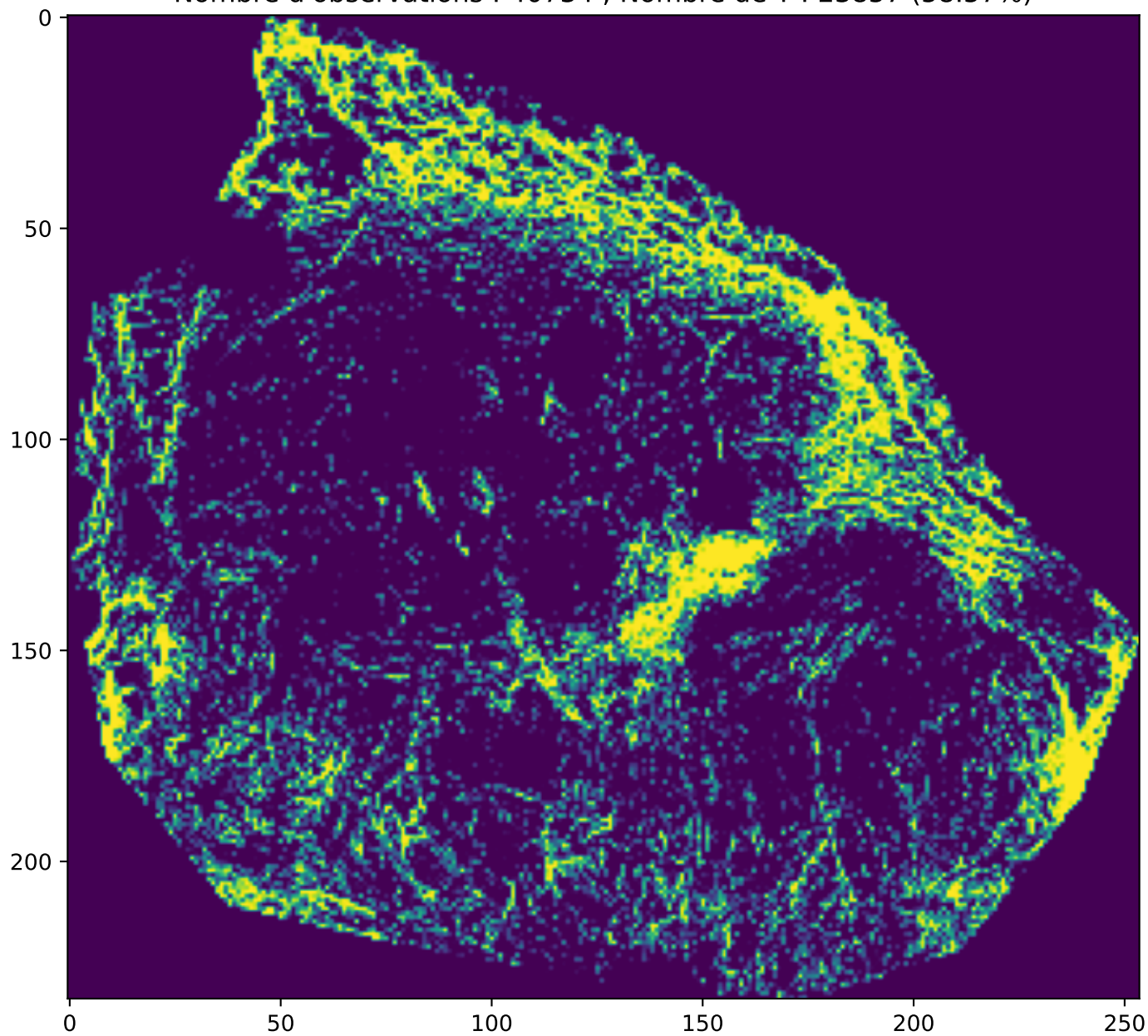


CD64-hDTR
MAX_12b_FKI193_CD3_SHG
Nombre d'observations : 36291 ; Nombre de T : 5417 (14.93%)

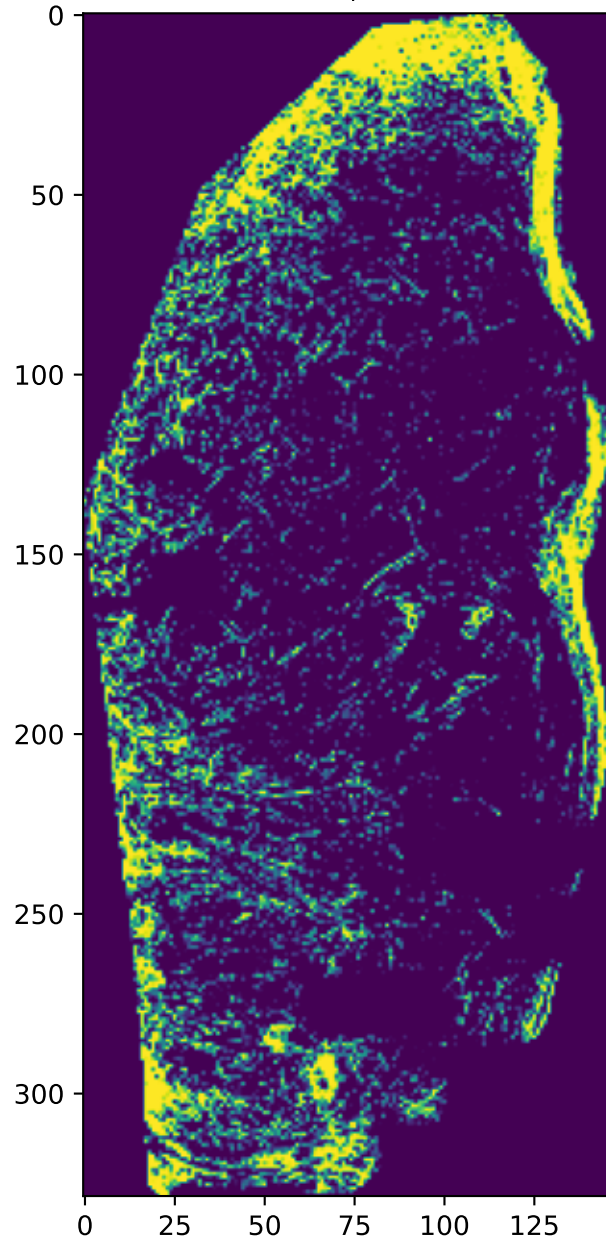


CD64-hDTR
MKI139_CD3eFITC_SHG

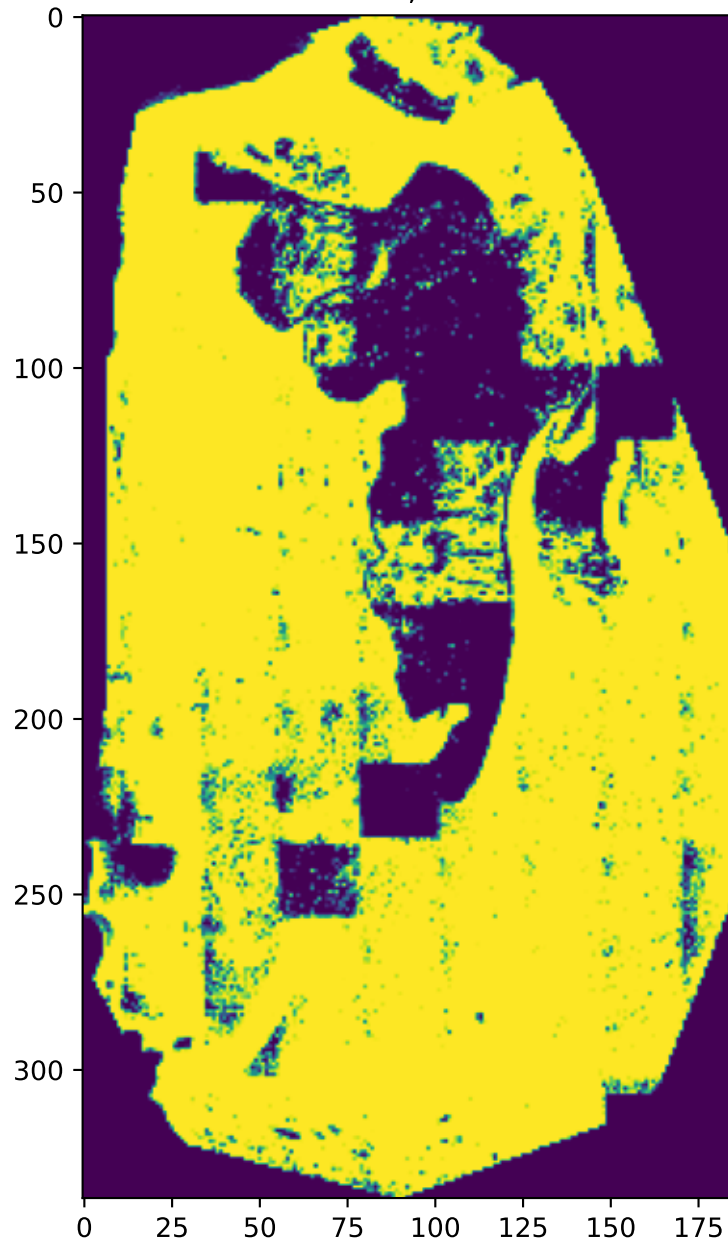
Nombre d'observations : 40734 ; Nombre de T : 23857 (58.57%)



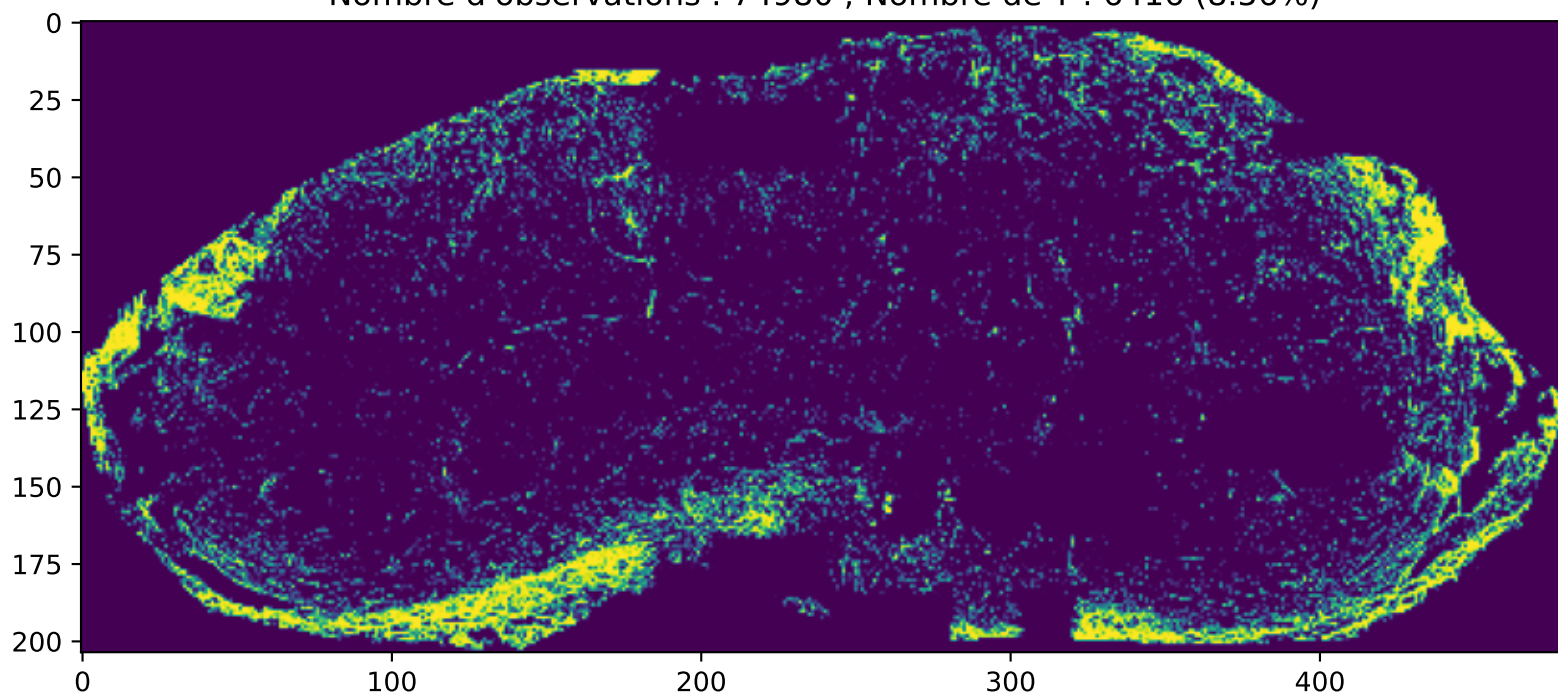
CD64-hDTR
12a_MKI152_CD3_SHG
Nombre d'observations : 37634 ; Nombre de T : 11293 (30.01%)



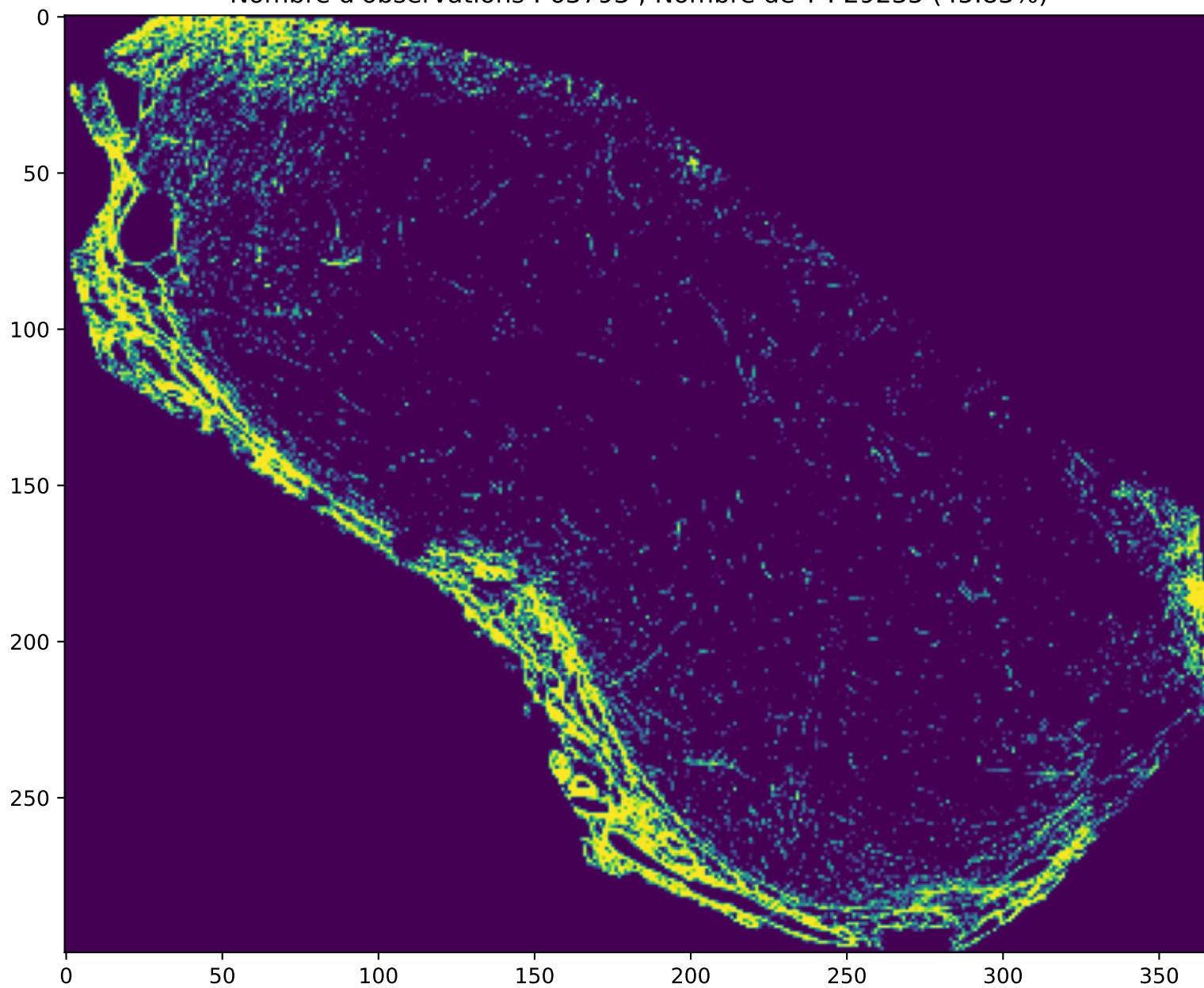
CD64-hDTR
MAX_12b_188_CD3eFITC
Nombre d'observations : 51229 ; Nombre de T : 28787 (56.19%)

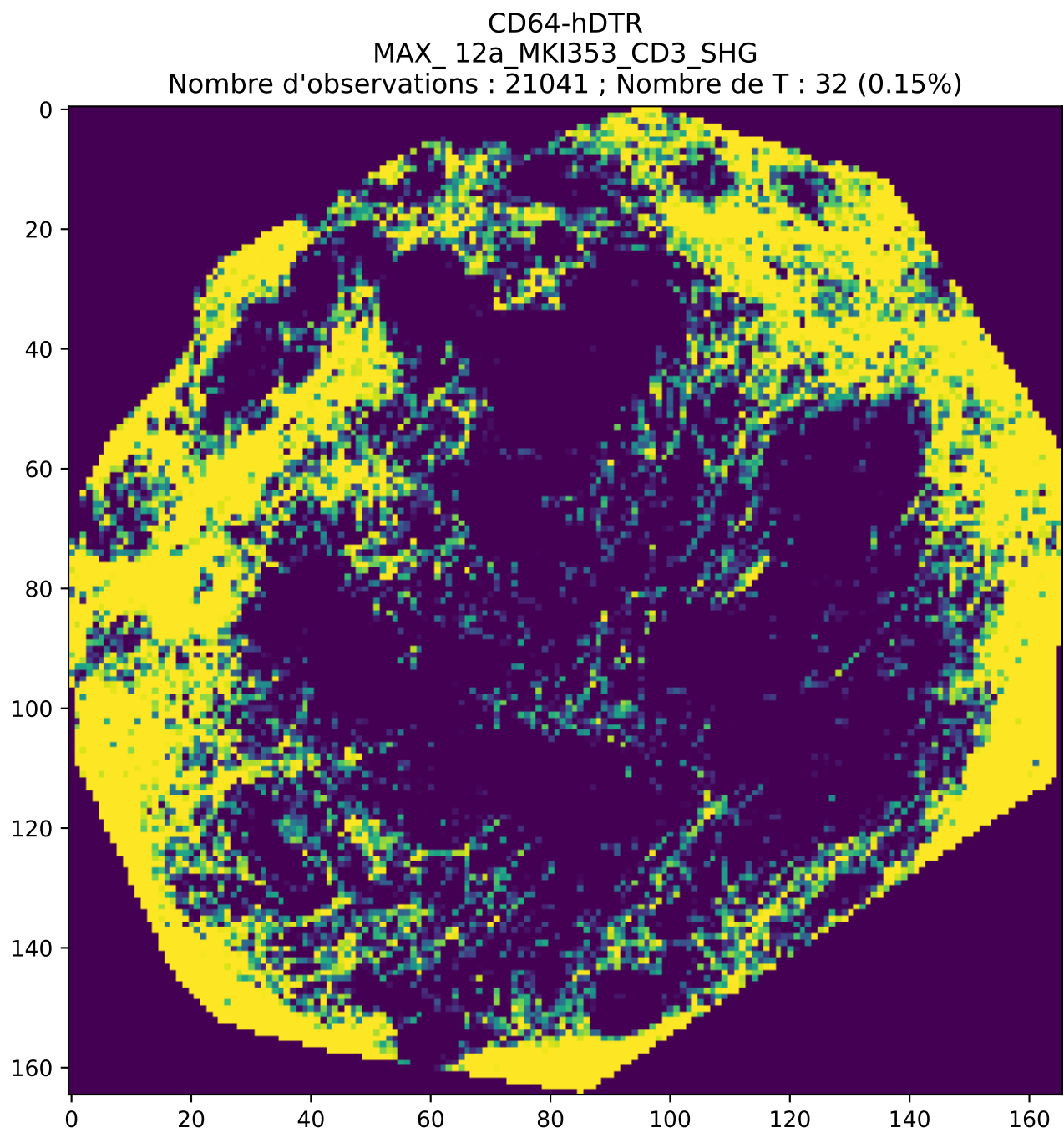


CD64-hDTR
12c_MKI138_CD3eFITC_SHG_phaI546_F480647
Nombre d'observations : 74980 ; Nombre de T : 6416 (8.56%)

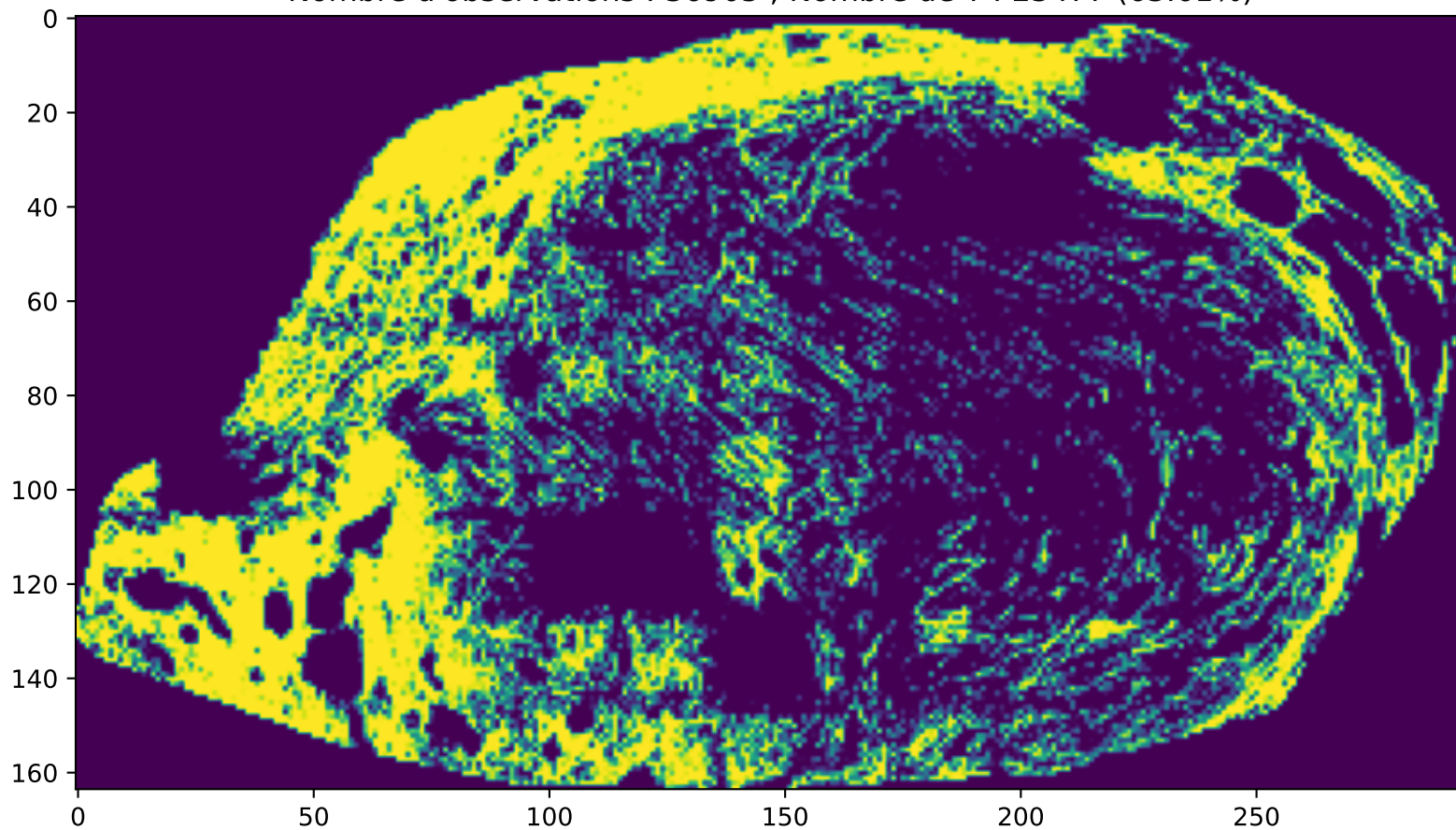


CD64-hDTR
MAX_12b_183_CD3eFITC_SHG
Nombre d'observations : 63793 ; Nombre de T : 29235 (45.83%)

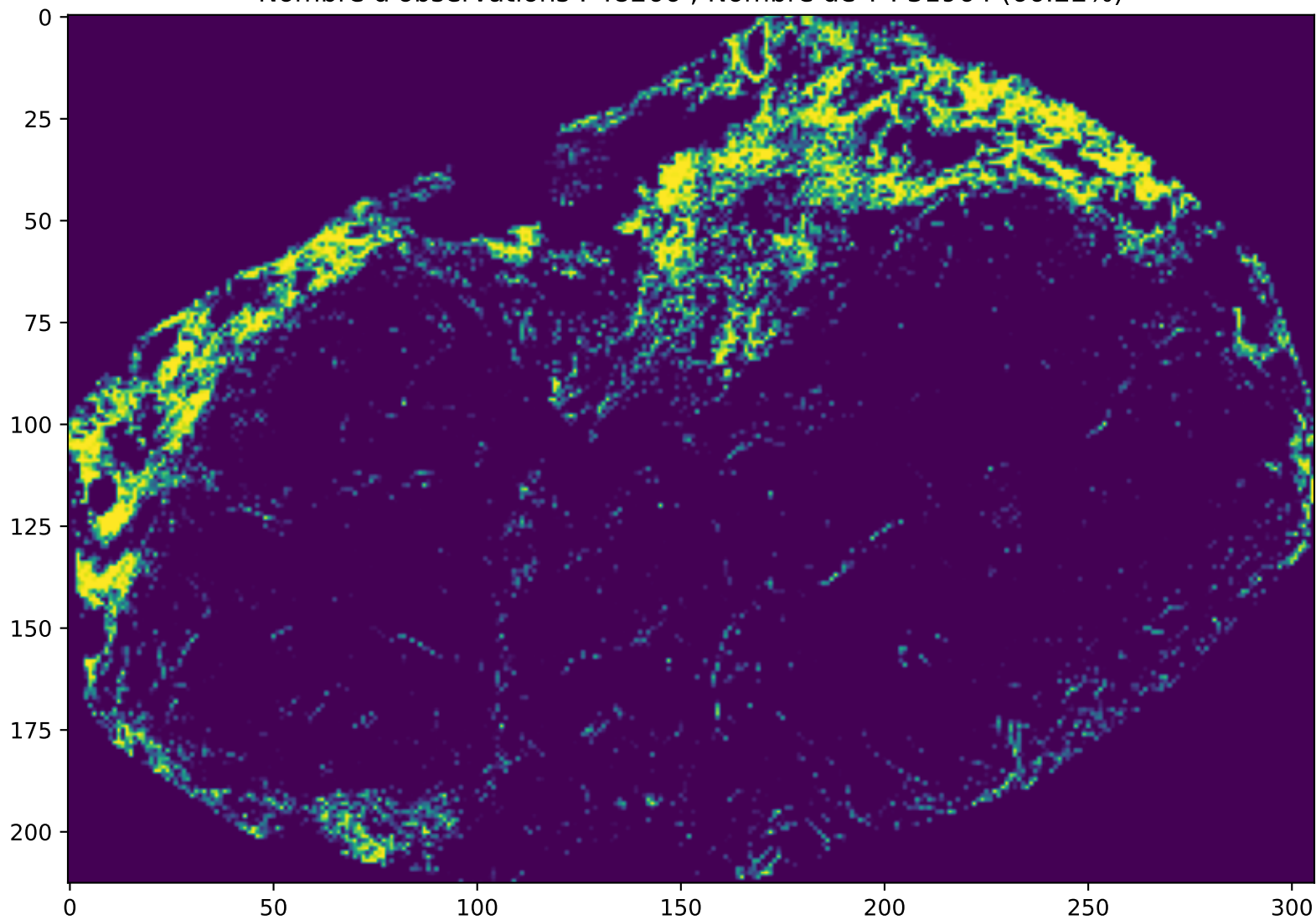




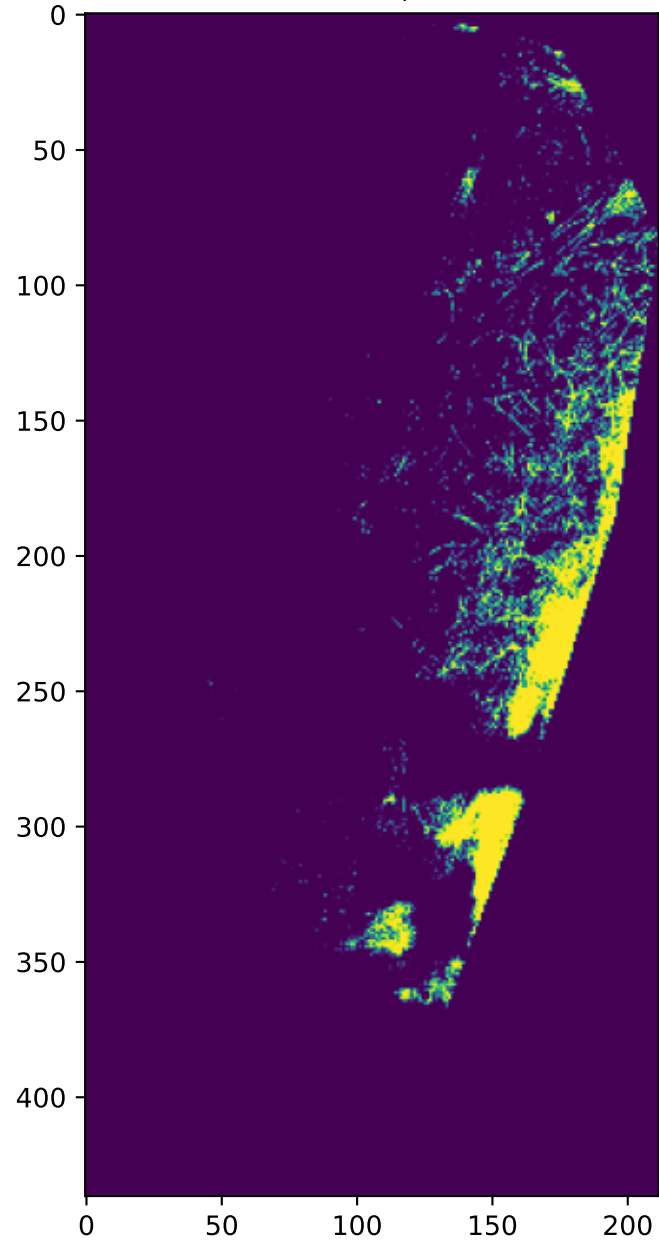
CD64-hDTR
MAX_12a_FKI158_CD3_SHG
Nombre d'observations : 36905 ; Nombre de T : 23477 (63.61%)



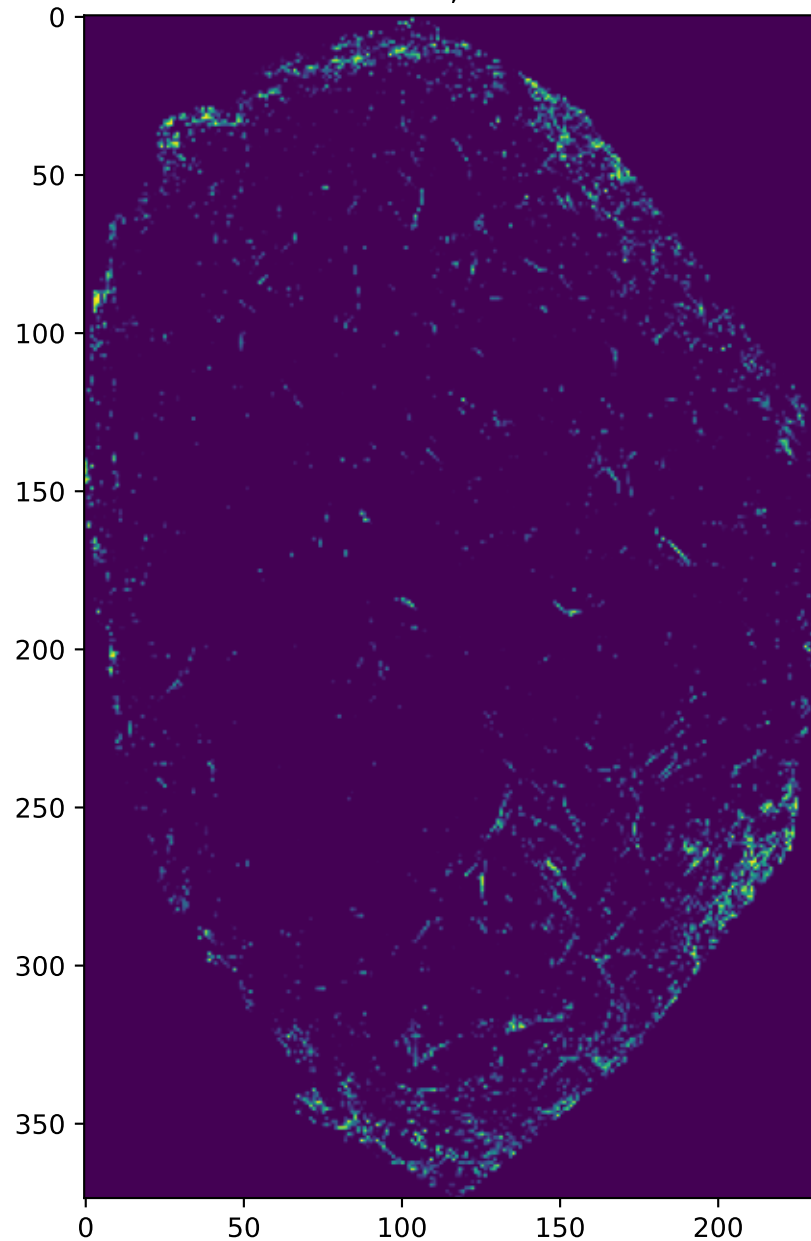
CD64-hDTR
FKI_860bis_left_CD3FITC
Nombre d'observations : 48266 ; Nombre de T : 31964 (66.22%)



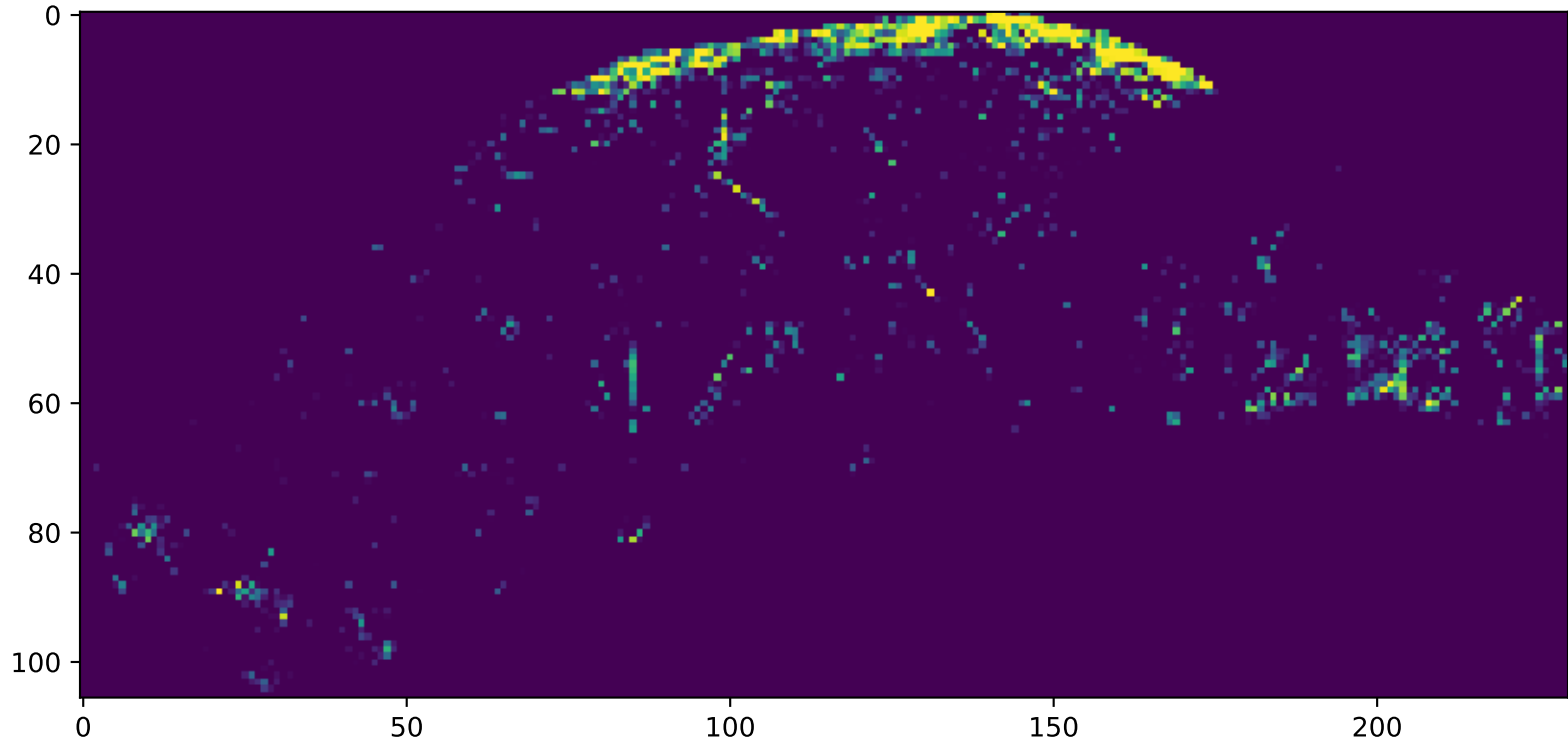
CD64-hDTR
FKI_860_CD3FITC
Nombre d'observations : 53650 ; Nombre de T : 958 (1.79%)



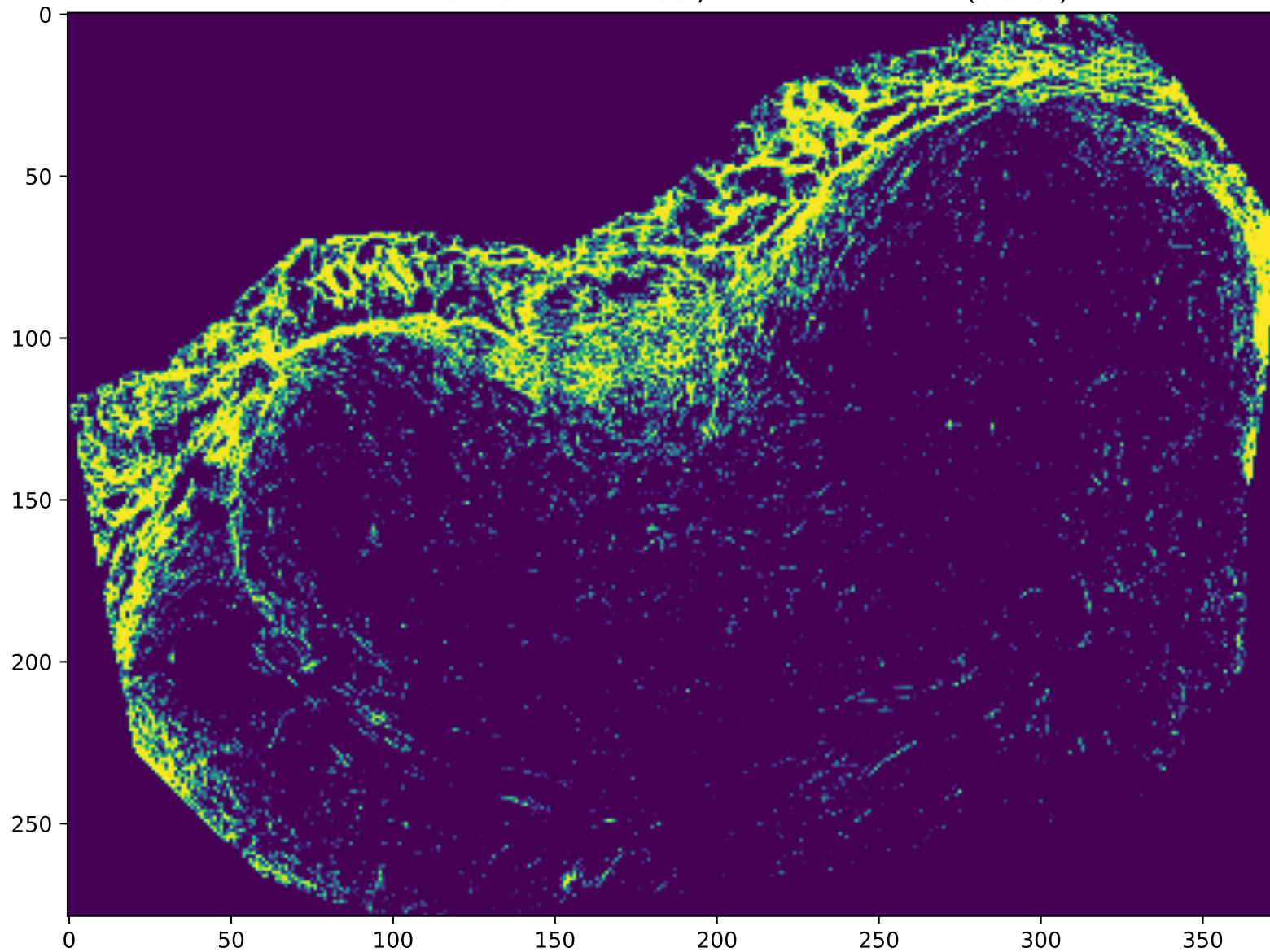
CD64-hDTR
FKI_141_bottom_CD3FITC_F480_AF647_PhaI546
Nombre d'observations : 63961 ; Nombre de T : 19654 (30.73%)



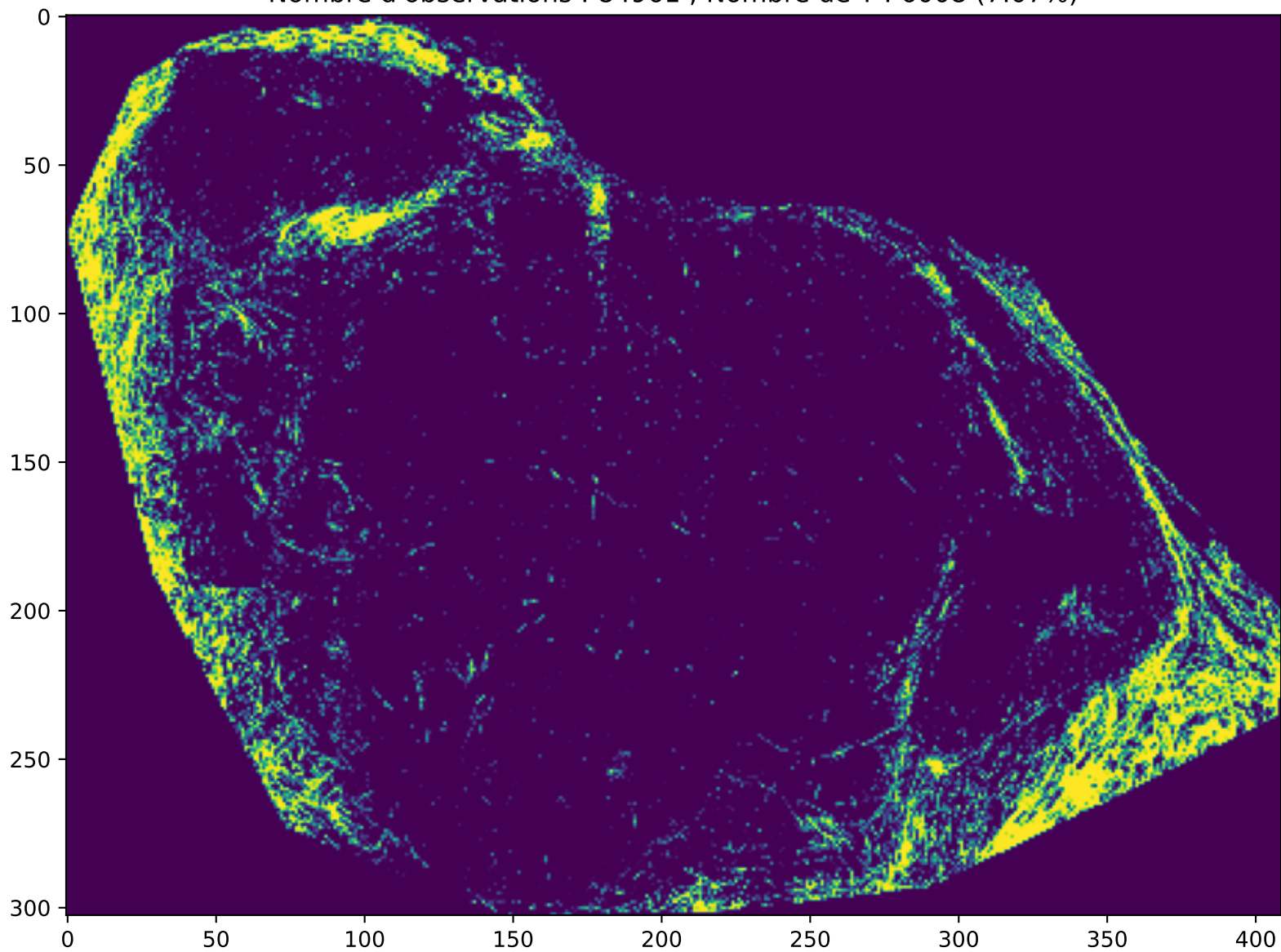
CD64-hDTR
FKI_140_left_bottom_CD3FITC
Nombre d'observations : 13514 ; Nombre de T : 9758 (72.21%)



CD64-hDTR
12c_ZF_MAX_12c_MKI857_CD3FITC_SHG
Nombre d'observations : 75733 ; Nombre de T : 277 (0.37%)



CD64-hDTR
12c_ZF_MAX_12c_MKI856_CD3FITC_SHG
Nombre d'observations : 84961 ; Nombre de T : 6008 (7.07%)



CD64-hDTR

MKI855_CD3_SHG_HyD3_laser_10 - Copie

Nombre d'observations : 84204 ; Nombre de T : 15591 (18.52%)

